



## 第7章 运动学奇异分析与性能评价

彭键清 副教授

中山大学 智能工程学院

邮箱: pengjq7@mail.sysu.edu.cn

办公室: 工学园1栋505

2024年04月22日

# 第7章 运动学奇异分析与性能评价

- 1 运动学奇异的判据
- 2 空间3R机械臂运动学奇异分析
- 3 腕部可分离6R机械臂奇异分析
- 4 一般6R机械臂运动学奇异分析
- 5 机器人运动性能评价

# 7.1 运动学奇异判据

## ■ 雅可比矩阵奇异的判断

- 速度级逆运动学方程

$$\dot{q} = J^{-1}(q) \dot{x}_e$$

- 方阵降秩的充要条件是其行列式为0，即

$$\det(J(q)) = 0$$

**判据：**使雅可比矩阵行列式为0的臂型为奇异臂型。基于此判据可推导奇异条件的表达式。

**拓展：**也可根据SVD分解得到的最小奇异值是否为0来判断是否奇异。但该方法不易得到表达式，一般仅用于数值判断。

# 7.1 运动学奇异判据

## ■ 参考系对奇异条件的影响分析

- 分别在{a}系和{b}系的雅可比矩阵有如下关系

$${}^aJ(q) = \begin{bmatrix} {}^aR_b & \mathbf{0} \\ \mathbf{0} & {}^aR_b \end{bmatrix} {}^bJ(q)$$

- 可知，不同参考系下的雅可比行列式相同，即

$$\det({}^aJ(q)) = \det({}^bJ(q))$$

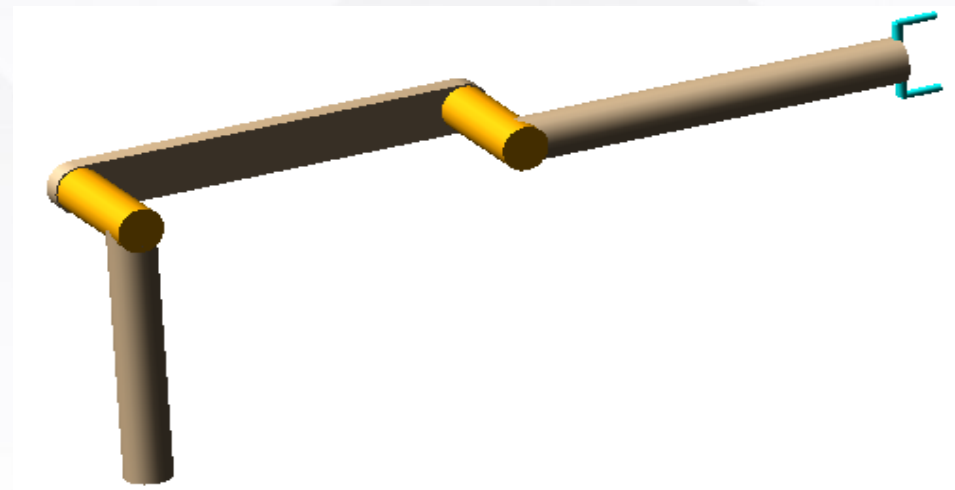
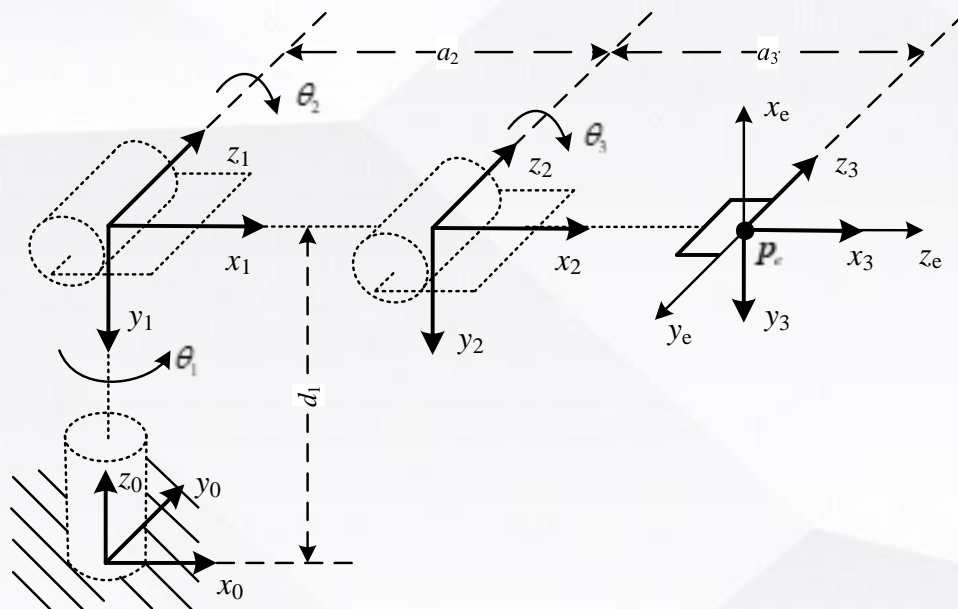
**结论：**奇异条件与参考系的选择无关。但通过选择合适的参考系，可以得到简洁表达式，进而简化奇异分析过程。

# 第7章 运动学奇异分析与性能评价

- 1 运动学奇异的判据
- 2 空间3R机械臂运动学奇异分析
- 3 腕部可分离6R机械臂奇异分析
- 4 一般6R机械臂运动学奇异分析
- 5 机器人运动性能评价

## 7.2.1 空间3R肘机械臂分析

### ◆ 构型及D-H坐标



D-H参数表

连杆 <i>i</i>	$\theta_i$	$\alpha_i$	$a_i$	$d_i$
1	0	-90	0	$d_1$
2	0	0	$a_2$	0
3	0	0	$a_3$	0

## 7.2.1 空间3R肘机械臂分析

### 1. 基于基座雅可比矩阵的分析

➤ 基座雅可比矩阵为（不特别说明时以{0}为参考，下同）

$$\mathbf{J}(\boldsymbol{\theta}) = \begin{bmatrix} -s_1(a_2c_2 + a_3c_{23}) & -c_1(a_2s_2 + a_3s_{23}) & -a_3c_1s_{23} \\ c_1(a_2c_2 + a_3c_{23}) & -s_1(a_2s_2 + a_3s_{23}) & -a_3s_1s_{23} \\ 0 & -(a_2c_2 + a_3c_{23}) & -a_3c_{23} \\ 0 & -s_1 & -s_1 \\ 0 & c_1 & c_1 \\ 1 & 0 & 0 \end{bmatrix} \in \mathbb{R}^{6 \times 3}$$

## 7.2.1 空间3R肘机械臂分析

### 1. 基于基座雅可比矩阵的分析

➤ 若将末端线速度和角速度分开考虑，得到分块矩阵

$$J(\Theta) = \begin{bmatrix} J_v(\Theta) \\ J_\omega(\Theta) \end{bmatrix} = \begin{bmatrix} -s_1(a_2c_2 + a_3c_{23}) & -c_1(a_2s_2 + a_3s_{23}) & -a_3c_1s_{23} \\ c_1(a_2c_2 + a_3c_{23}) & -s_1(a_2s_2 + a_3s_{23}) & -a_3s_1s_{23} \\ 0 & -(a_2c_2 + a_3c_{23}) & -a_3c_{23} \\ \hline 0 & -s_1 & -s_1 \\ 0 & c_1 & c_1 \\ 1 & 0 & 0 \end{bmatrix}$$

➤ 相应的运动学方程分解为

$$\begin{bmatrix} v_e \\ \omega_e \end{bmatrix} = \begin{bmatrix} J_v(\Theta) \\ J_\omega(\Theta) \end{bmatrix} \dot{\Theta} \Rightarrow \begin{cases} v_e = J_v(\Theta) \dot{\Theta} \\ \omega_e = J_\omega(\Theta) \dot{\Theta} \end{cases}$$



## 7.2.1 空间3R肘机械臂分析

### 1. 基于基座雅可比矩阵的分析

- 该机械臂用于进行末端定位，因而考虑末端线速度方程

$$\mathbf{v}_e = \mathbf{J}_v(\boldsymbol{\theta}) \dot{\boldsymbol{\theta}}, \quad \mathbf{J}_v(\boldsymbol{\theta}) \in \mathbb{R}^{3 \times 3}$$

- 若 $\mathbf{J}_v$ 为满秩的 $3 \times 3$ 方阵，则关节角速度可按式求得

$$\dot{\boldsymbol{\theta}} = [\mathbf{J}_v(\boldsymbol{\theta})]^{-1} \mathbf{v}_e$$

若 $\mathbf{J}_v$ 不满秩，则关节角速度无有效解。因此可以通过分析 $\mathbf{J}_v$ 来判断机械臂是否处于奇异状态。

## 7.2.1 空间3R肘机械臂分析

### 1. 基于基座雅可比矩阵的分析

#### ◆ 对雅可比分块矩阵进行奇异分析

$$J_v(\boldsymbol{\theta}) = \begin{bmatrix} -s_1(a_2c_2 + a_3c_{23}) & -c_1(a_2s_2 + a_3s_{23}) & -a_3c_1s_{23} \\ c_1(a_2c_2 + a_3c_{23}) & -s_1(a_2s_2 + a_3s_{23}) & -a_3s_1s_{23} \\ 0 & -(a_2c_2 + a_3c_{23}) & -a_3c_{23} \end{bmatrix}$$

#### ➤ 根据行列式的计算公式，可得

$$|J_v(\boldsymbol{q})| = \det(J_v(\boldsymbol{q})) = a_2a_3s_3(a_2c_2 + a_3c_{23})$$

#### ➤ 令行列式为0，可得矩阵不满秩的条件，即

$$|J_v(\boldsymbol{q})| = 0 \implies s_3 = 0 \text{ or } a_2c_2 + a_3c_{23} = 0$$

## 7.2.1 空间3R肘机械臂分析

### 2. 基于末端雅可比矩阵的分析

➤ 类似地，可求得末端雅可比矩阵为

$${}^n\mathbf{J}(\boldsymbol{\theta}) = \begin{bmatrix} 0 & a_2 s_3 & 0 \\ 0 & a_3 + a_2 c_3 & a_3 \\ a_2 c_2 + a_3 c_{23} & 0 & 0 \\ \hline -s_{23} & 0 & 0 \\ -c_{23} & 0 & 0 \\ 0 & 1 & 1 \end{bmatrix}$$

➤ 其分块矩阵为

$${}^n\mathbf{J}_v(\boldsymbol{\theta}) = \begin{bmatrix} 0 & a_2 s_3 & 0 \\ 0 & a_3 + a_2 c_3 & a_3 \\ a_2 c_2 + a_3 c_{23} & 0 & 0 \end{bmatrix}$$

## 7.2.1 空间3R肘机械臂分析

### 2. 基于末端雅可比矩阵的分析

- 根据行列式的计算公式，可得

$$\left| {}^n J_v(\boldsymbol{\Theta}) \right| = \det \left( {}^n J_v(\boldsymbol{\Theta}) \right) = a_2 a_3 s_3 (a_2 c_2 + a_3 c_{23})$$

- 令行列式为0，可得矩阵不满秩的条件，即

$$\left| {}^n J_v(\boldsymbol{q}) \right| = 0 \implies s_3 = 0 \text{ or } a_2 c_2 + a_3 c_{23} = 0$$

可见，基于末端雅可比和基座雅可比分析的结果一样，因为

$$\det \left( {}^0 J(\boldsymbol{\Theta}) \right) = \det \left( {}^n J(\boldsymbol{\Theta}) \right)$$

再次说明了雅可比矩阵的奇异性与坐标系的选择无关！

## 7.2.2 空间3R肘机械臂奇异臂型分析

### 1. 肘部奇异（边界奇异）

#### ① 肘部奇异条件

$$s_3 = 0 \longrightarrow \begin{cases} \theta_3 = 0 \\ \theta_3 = \pi \end{cases}$$

#### ② 肘部奇异时的运动特点

➤ 将奇异条件下的关节变量代入末端雅可比表达式，可得

$${}^n J_v = \begin{bmatrix} 0 & a_2 s_3 & 0 \\ 0 & a_3 + a_2 c_3 & a_3 \\ a_2 c_2 + a_3 c_{23} & 0 & 0 \end{bmatrix} \xrightarrow{\theta_3=0 \text{ 或 } \pi \text{ 代入}} {}^n J_v = \begin{bmatrix} 0 & 0 & 0 \\ 0 & a_3 \pm a_2 & a_3 \\ (a_2 \pm a_2) c_2 & 0 & 0 \end{bmatrix}$$

## 7.2.2 空间3R肘机械臂奇异臂型分析

### 1. 肘部奇异（边界奇异）

➤ 此时的运动学方程为：

$$\begin{bmatrix} {}^n v_{ex} \\ {}^n v_{ey} \\ {}^n v_{ez} \end{bmatrix} = {}^n J_v(\boldsymbol{\theta}) \begin{bmatrix} \dot{\theta}_1 \\ \dot{\theta}_2 \\ \dot{\theta}_3 \end{bmatrix} = \begin{bmatrix} 0 & 0 & 0 \\ 0 & a_3 \pm a_2 & a_3 \\ (a_2 \pm a_2)c_2 & 0 & 0 \end{bmatrix} \begin{bmatrix} \dot{\theta}_1 \\ \dot{\theta}_2 \\ \dot{\theta}_3 \end{bmatrix}$$

➤ 各轴分量为：

$$\begin{cases} {}^n v_{ex} = 0 \\ {}^n v_{ey} = (a_3 \pm a_2)\dot{\theta}_2 + a_3\dot{\theta}_3 \\ {}^n v_{ez} = (a_2 \pm a_2)c_2\dot{\theta}_1 \end{cases}$$

**表明：**该臂型下关节运动无法产生末端在 $x_3$ 方向的线速度，即机械臂末端损失了一个运动自由度。

## 7.2.2 空间3R肘机械臂奇异臂型分析

### 1. 肘部奇异（边界奇异）

#### ③ 肘部奇异臂型分析

$$s_3 = 0 \longrightarrow \begin{cases} \theta_3 = 0 \\ \theta_3 = \pi \end{cases}$$

➤ 将奇异条件下的关节变量代入末端位置表达式，可得

$${}^0\mathbf{p}_3 = \begin{bmatrix} c_1(a_2c_2 + a_3c_{23}) \\ s_1(a_2c_2 + a_3c_{23}) \\ d_1 - a_2s_2 - a_3s_{23} \end{bmatrix} \xrightarrow{\theta_3=0\text{或}\pi\text{代入}} \boxed{{}^0\mathbf{p}_3 = \begin{bmatrix} c_1c_2(a_2 \pm a_3) \\ s_1c_2(a_2 \pm a_3) \\ d_1 - s_2(a_2 \pm a_3) \end{bmatrix}}$$

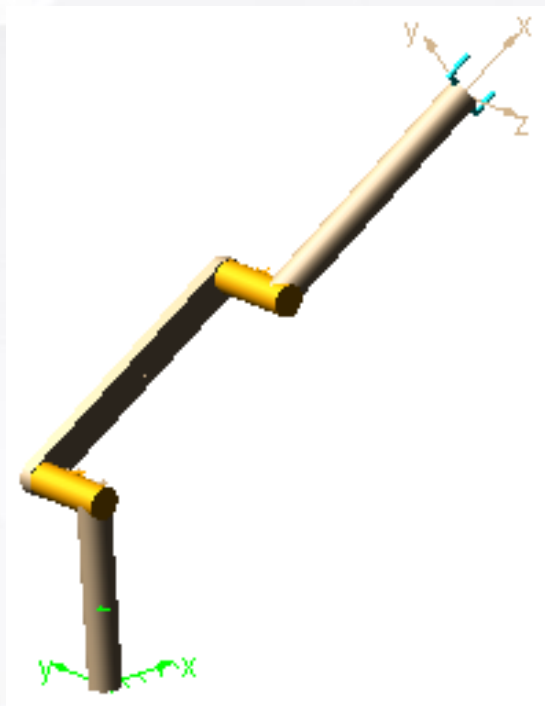
此时末端点相对于肩部点 $S(0, 0, d_1)$ 的距离为

$$\boxed{|{}^0\mathbf{p}_3 - {}^0\mathbf{S}| = |a_2 \pm a_3|} \longrightarrow \text{机械臂末端处于工作空间边界}$$

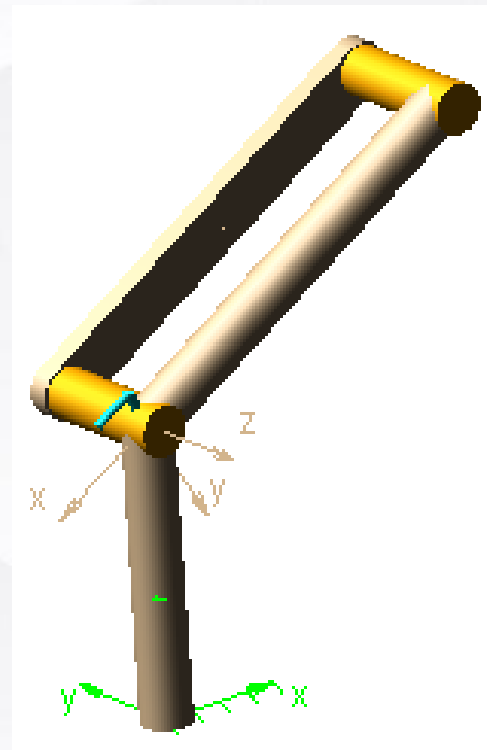
## 7.2.2 空间3R肘机械臂奇异臂型分析

### 1. 肘部奇异（边界奇异）

➤ 奇异臂型的三维状态 ( $s_3=0$ )



(a) 工作空间外边界  $\theta_3=0$



(b) 工作空间内边界  $\theta_3=\pi$

**特点：**末端损失 $x_3$ （沿臂伸展）方向的平动自由度（ ${}^3\mathbf{v}_{ex}=0$ ）



## 7.2.2 空间3R肘机械臂奇异臂型分析

### 2. 肩部奇异（内部奇异）

#### ① 肩部奇异条件

$$a_2 c_2 + a_3 c_{23} = 0 \rightarrow \begin{cases} \theta_2 = \operatorname{atan}\left(\frac{a_2 + a_3 c_3}{a_3 s_3}\right) \\ \theta_2 = \operatorname{atan}\left(\frac{a_2 + a_3 c_3}{a_3 s_3}\right) - \pi \end{cases}$$

#### ② 肩部奇异时的运动特点

➤ 将奇异条件下的关节变量代入末端雅可比表达式，可得

$${}^n \mathbf{J}_v(\mathbf{q})|_{a_2 c_2 + a_3 c_{23} = 0} = \begin{bmatrix} 0 & a_2 s_3 & 0 \\ 0 & a_3 + a_2 c_3 & a_3 \\ 0 & 0 & 0 \end{bmatrix}$$

## 7.2.2 空间3R肘机械臂奇异臂型分析

### 2. 肩部奇异（内部奇异）

➤ 此时的运动学方程为：

$$\begin{bmatrix} {}^n v_{ex} \\ {}^n v_{ey} \\ {}^n v_{ez} \end{bmatrix} = {}^n J_v(\boldsymbol{\Theta}) \begin{bmatrix} \dot{\theta}_1 \\ \dot{\theta}_2 \\ \dot{\theta}_3 \end{bmatrix} = \begin{bmatrix} 0 & a_2 s_3 & 0 \\ 0 & a_3 + a_2 c_3 & a_3 \\ 0 & 0 & 0 \end{bmatrix} \begin{bmatrix} \dot{\theta}_1 \\ \dot{\theta}_2 \\ \dot{\theta}_3 \end{bmatrix}$$

➤ 各轴分量为：

$$\begin{cases} {}^n v_{ex} = a_2 s_3 \dot{\theta}_2 \\ {}^n v_{ey} = (a_3 + a_2 c_3) \dot{\theta}_2 + a_3 \dot{\theta}_3 \\ {}^n v_{ez} = 0 \end{cases}$$

**表明：**该臂型下关节运动无法产生末端在 $z_3$ 方向的线速度，即机械臂末端损失了一个运动自由度

## 7.2.2 空间3R肘机械臂奇异臂型分析

### 2. 肩部奇异（内部奇异）

#### ③ 肩部奇异臂型分析

$$a_2 c_2 + a_3 c_{23} = 0$$

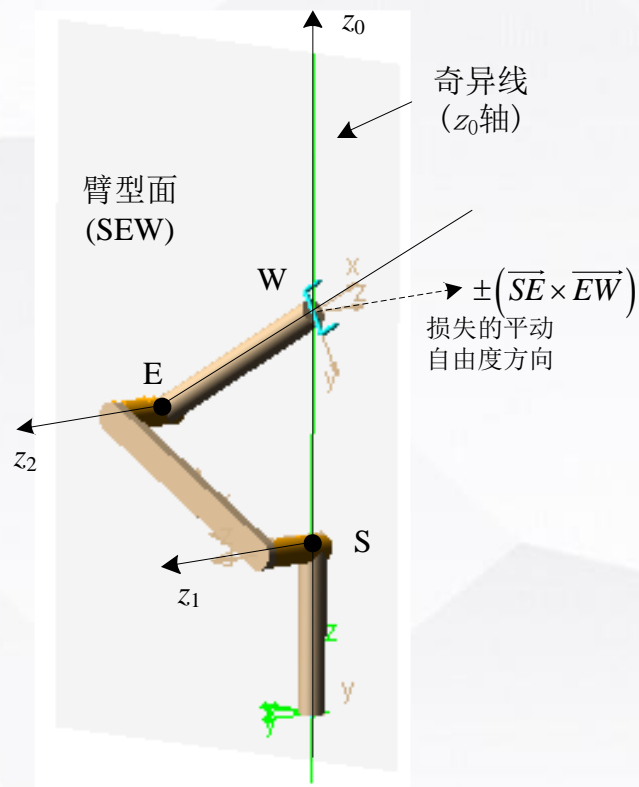
➤ 将奇异条件下的关节变量代入末端位置表达式，可得

$${}^0\mathbf{p}_3 = \begin{bmatrix} c_1 (a_2 c_2 + a_3 c_{23}) \\ s_1 (a_2 c_2 + a_3 c_{23}) \\ d_1 - a_2 s_2 - a_3 s_{23} \end{bmatrix} \xrightarrow{a_2 c_2 + a_3 c_{23} = 0} {}^0\mathbf{p}_3 = \begin{bmatrix} 0 \\ 0 \\ d_1 - a_2 s_2 - a_3 s_{23} \end{bmatrix}$$

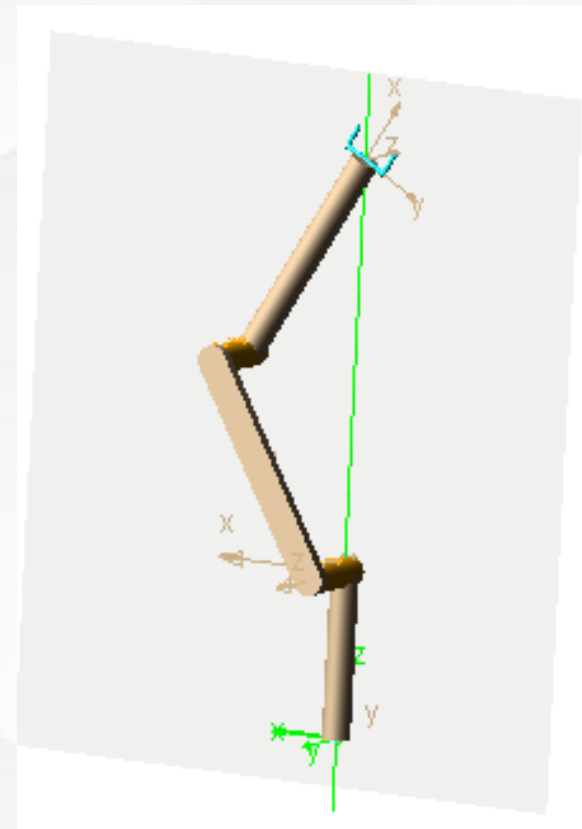
此时末端点位于 $\mathbf{z}_0$ 轴上 ( $p_{ex} = p_{ey} = 0$ )

## 7.2.2 空间3R肘机械臂奇异臂型分析

### 2. 肩部奇异（内部奇异）



(a) 奇异臂型1 ( $\theta_2 = -30^\circ$ ,  $\theta_3 = -120^\circ$ )

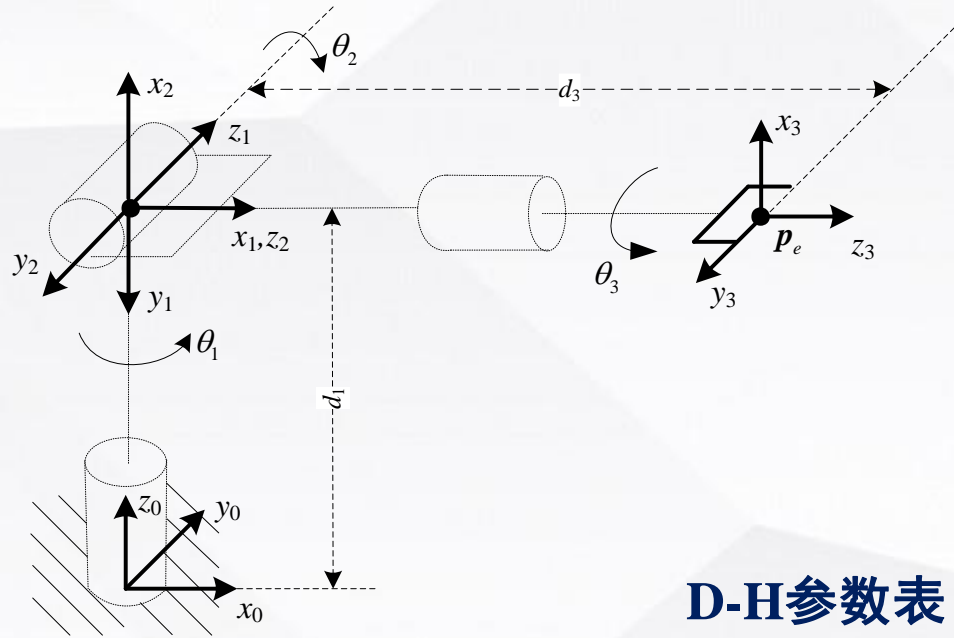


(b) 奇异臂型2 ( $\theta_2 = -60^\circ$ ,  $\theta_3 = -60^\circ$ )

**特点：**损失 $z_3$ （垂直于臂型面SEW）方向的平动自由度（ ${}^3v_{ez}=0$ ）

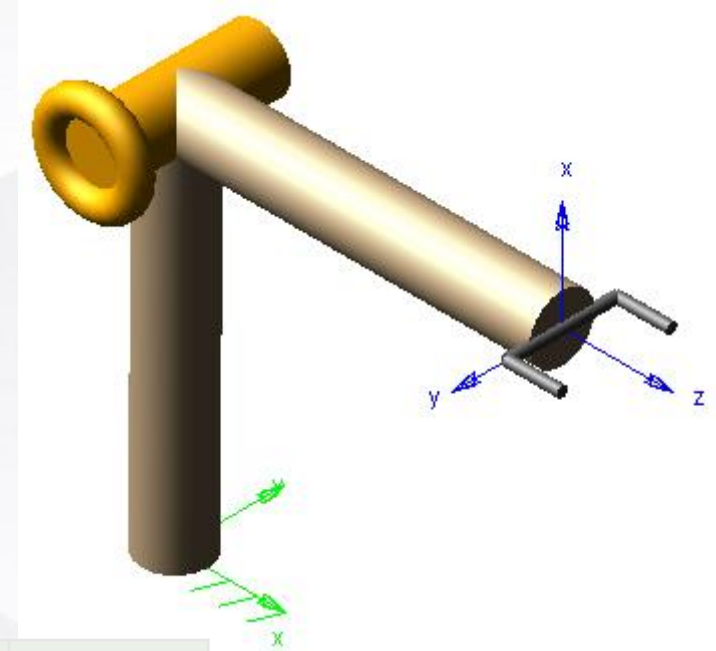
## 7.2.3 空间3R球腕机械臂分析

### ◆ 构型及D-H坐标



D-H参数表

连杆 $i$	$\theta_i$	$\alpha_i$	$a_i$	$d_i$
1	0	-90	0	$d_1$
2	-90	-90	0	0
3	0	0	$a_3$	$d_3$



## 7.2.3 空间3R球腕机械臂分析

### ◆ 奇异条件确定

- 该臂用于**定姿**，故考虑末端角速度对于的雅可比分块矩阵

$${}^0J_{\omega}(q) = \begin{bmatrix} 0 & -s_1 & -c_1s_2 \\ 0 & c_1 & -s_1s_2 \\ 1 & 0 & -c_2 \end{bmatrix}, \quad {}^nJ_{\omega}(q) = \begin{bmatrix} -s_2c_3 & -s_3 & 0 \\ s_2s_3 & -c_3 & 0 \\ -c_2 & 0 & 1 \end{bmatrix}$$

- 行列式（基座及末端雅可比行列式相同，可用任何一个分析）

$$|{}^0J_{\omega}(q)| = |{}^nJ_{\omega}(q)| = s_2$$

- 可得奇异条件为：

$$s_2 = 0 \Rightarrow \begin{cases} \theta_2 = 0 \\ \theta_2 = \pi \end{cases}$$

## 7.2.3 空间3R球腕机械臂分析

### ◆ 奇异时的运动分析

- 发生奇异时的雅可比矩阵为 ( $s_2=0, c_2=\pm 1$ )

$${}^0J_{\omega}(q) = \begin{bmatrix} 0 & -s_1 & 0 \\ 0 & c_1 & 0 \\ 1 & 0 & \mp 1 \end{bmatrix}, \quad {}^nJ_{\omega}(q) = \begin{bmatrix} 0 & -s_3 & 0 \\ 0 & -c_3 & 0 \\ \mp 1 & 0 & 1 \end{bmatrix}$$

- 基座坐标系下的运动学方程为

$$\begin{bmatrix} {}^0\omega_{ex} \\ {}^0\omega_{ey} \\ {}^0\omega_{ez} \end{bmatrix} = \begin{bmatrix} 0 & -s_1 & 0 \\ 0 & c_1 & 0 \\ 1 & 0 & \mp 1 \end{bmatrix} \begin{bmatrix} \dot{\theta}_1 \\ \dot{\theta}_2 \\ \dot{\theta}_3 \end{bmatrix}$$

## 7.2.3 空间3R球腕机械臂分析

### ◆ 奇异时的运动分析

➤ 各轴角速度分量为

$$\begin{cases} {}^0\omega_{ex} = -s_1\dot{\theta}_2 \\ {}^0\omega_{ey} = c_1\dot{\theta}_2 \\ {}^0\omega_{ez} = \dot{\theta}_1 \mp \dot{\theta}_3 \end{cases}$$

可知，产生的角速度满足：

$${}^0\omega_{ex}^2 + {}^0\omega_{ey}^2 = \dot{\theta}_2^2$$

**特点：** $x$ 、 $y$ 轴的角速度线性相关，不能独立确定，即末端损失绕矢量 $\pm(\mathbf{z}_1 \times \mathbf{z}_2)$  或 $\pm(\mathbf{z}_1 \times \mathbf{z}_0)$ 旋转的运动



## 7.2.3 空间3R球腕机械臂分析

### ◆ 奇异时的臂型分析

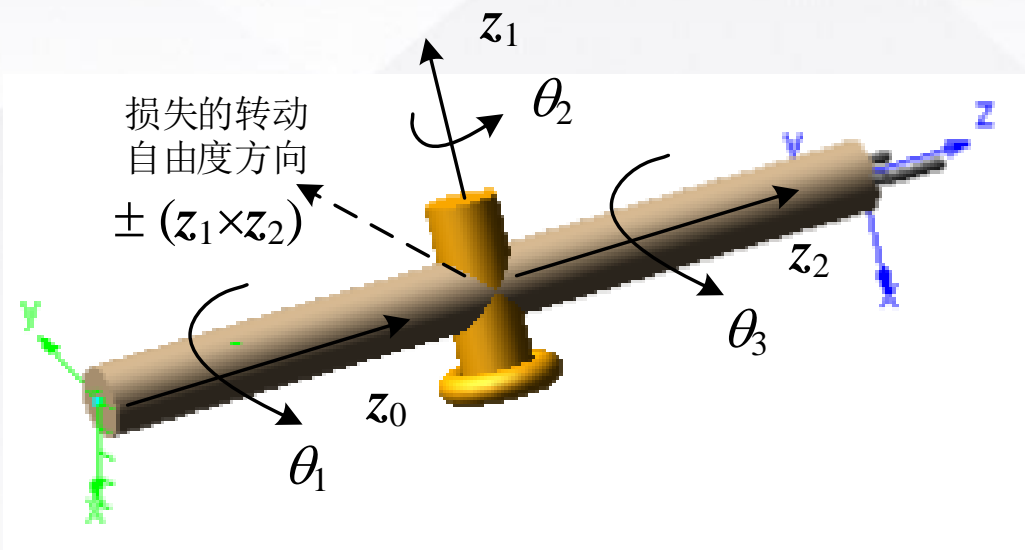
➤ 将奇异时的关节变量代入末端姿态矩阵，可得( $s_2=0, c_2=\pm 1$ )

$$\begin{aligned} {}^0R_3 &= \begin{bmatrix} s_1s_3 + c_1c_2c_3 & s_1c_3 - c_1c_2s_3 & -c_1s_2 \\ -c_1s_3 + s_1c_2c_3 & -c_1c_3 - s_1c_2s_3 & -s_1s_2 \\ -s_2c_3 & s_2s_3 & -c_2 \end{bmatrix} \\ &= \begin{bmatrix} s_1s_3 \pm c_1c_3 & s_1c_3 \mp c_1s_3 & 0 \\ -c_1s_3 \pm s_1c_3 & -c_1c_3 \mp s_1s_3 & 0 \\ 0 & 0 & \mp 1 \end{bmatrix} = \begin{bmatrix} \pm \cos(\theta_1 \mp \theta_3) & \sin(\theta_1 \mp \theta_3) & 0 \\ \pm \sin(\theta_1 \mp \theta_3) & -\cos(\theta_1 \mp \theta_3) & 0 \\ 0 & 0 & \mp 1 \end{bmatrix} \end{aligned}$$

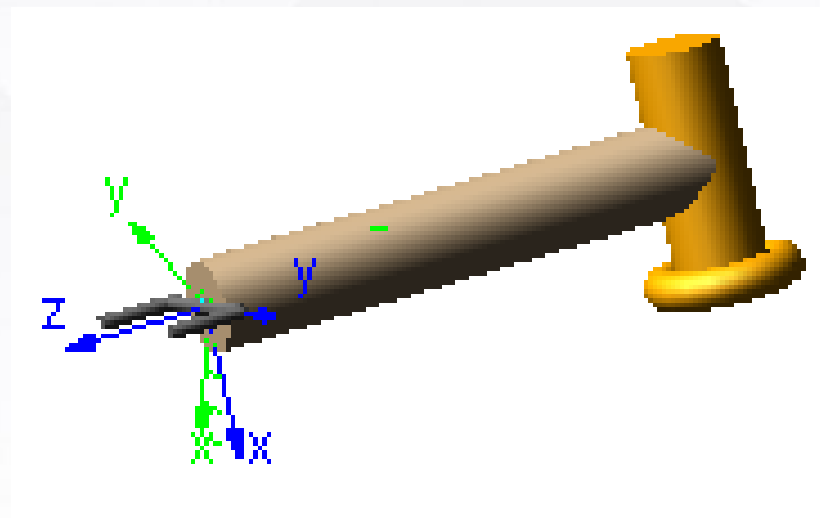
- 此时 $z_3/z_2$ 与 $z_0$ 共线，关节1与关节3同轴
- 损失绕矢量 $\pm(z_1 \times z_2)$  或 $\pm(z_1 \times z_0)$ 方向的转动自由度（垂直于腕部三轴所处的面）

## 7.2.3 空间3R球腕机械臂分析

### ◆ 奇异时的臂型分析



(a) 腕部奇异臂型1 ( $\theta_2=0$ )



(b) 腕部奇异臂型2 ( $\theta_3=\pi$ )

**特点：**损失了绕矢量 $\pm(z_1 \times z_2)$  或 $\pm(z_1 \times z_0)$ 方向的转动自由度  
(垂直于腕部三轴所处的面)

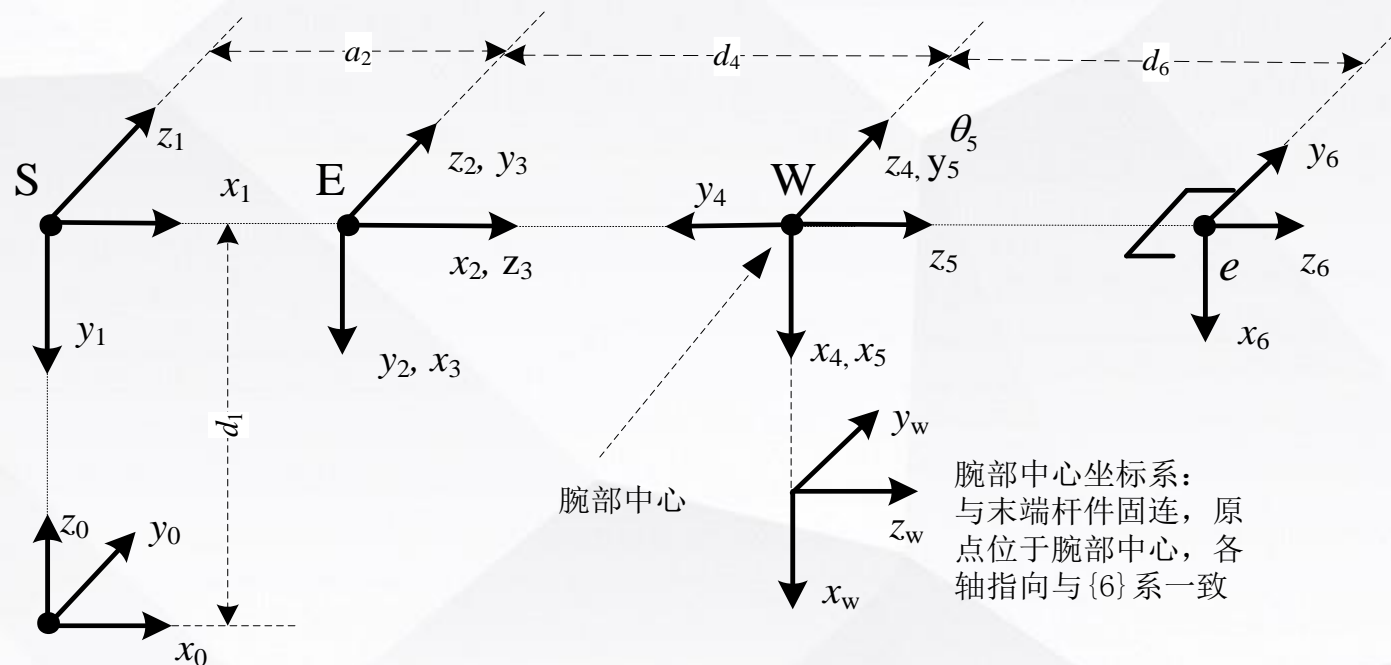
# 第7章 运动学奇异分析与性能评价

- 1 运动学奇异的判据
- 2 空间3R机械臂运动学奇异分析
- 3 腕部可分离6R机械臂奇异分析
- 4 一般6R机械臂运动学奇异分析
- 5 机器人运动性能评价

## 7.3.1 腕部运动的分解

### ◆ 腕部中心坐标系与末端坐标系

将末端杆件坐标系原点建在腕部中心，得到腕部中心坐标系 $\{x_w y_w z_w\}$ 。



注：腕部中心坐标系 $\{x_w y_w z_w\}$ 与 $\{x_6 y_6 z_6\}$ 均与末端连杆固连，两者仅原点位置不同。

## 7.3.1 腕部运动的分解

### ◆ 腕部中心运动速度与末端速度的关系

➤ 腕部中心与末端运动速度满足

$$\omega_e = \omega_w$$

$$\mathbf{v}_e = \mathbf{v}_w + \omega_w \times d_6 \mathbf{z}_6 = \mathbf{v}_w - d_6 \mathbf{z}_6^\times \omega_w$$

➤ 写成矩阵的形式，有

$$\begin{bmatrix} \mathbf{v}_e \\ \omega_e \end{bmatrix} = \begin{bmatrix} \mathbf{I} & -d_6 \mathbf{z}_6^\times \\ \mathbf{O} & \mathbf{I} \end{bmatrix} \begin{bmatrix} \mathbf{v}_w \\ \omega_w \end{bmatrix}$$

结论：腕部中心点、末端点都为末端杆件上的点，因而角速度相同，而线速度相差由于偏置矢量产生的牵连运动。对于 $d_6=0$ 的特例，两者的线速度和角速度完全相同。

## 7.3.1 腕部运动的分解

### ◆ 腕部中心及末端的微分运动方程

- **末端点**运动速度对应的微分运动学方程

$$\begin{bmatrix} \mathbf{v}_e \\ \boldsymbol{\omega}_e \end{bmatrix} = \mathbf{J}_e(\boldsymbol{\theta}) \dot{\boldsymbol{\theta}}$$

- **腕部中心点**运动速度对应的微分运动学方程为

$$\begin{bmatrix} \mathbf{v}_w \\ \boldsymbol{\omega}_w \end{bmatrix} = \mathbf{J}_w(\boldsymbol{\theta}) \dot{\boldsymbol{\theta}}$$

- 根据**末端点**及**腕部中心**速度的关系，有

$$\mathbf{J}_e = \begin{bmatrix} \mathbf{I} & -d_6 \mathbf{z}_6^\times \\ \mathbf{O} & \mathbf{I} \end{bmatrix} \mathbf{J}_w = \mathbf{U} \mathbf{J}_w, \quad \det(\mathbf{U}) = 1$$

注：上述两个运动学方程反映了**同一连杆**（末端连杆）上**不同参考点**的运动关系。

## 7.3.1 腕部运动的分解

### ◆ 腕部中心及末端的微分运动方程

#### ➤ 末端点、腕部点的微分运动学关系小结

$$\begin{bmatrix} \mathbf{v}_e \\ \boldsymbol{\omega}_e \end{bmatrix} = \mathbf{J}_e(\boldsymbol{\theta}) \dot{\boldsymbol{\theta}}, \quad \begin{bmatrix} \mathbf{v}_w \\ \boldsymbol{\omega}_w \end{bmatrix} = \mathbf{J}_w(\boldsymbol{\theta}) \dot{\boldsymbol{\theta}}, \quad \begin{bmatrix} \mathbf{v}_e \\ \boldsymbol{\omega}_e \end{bmatrix} = \begin{bmatrix} \mathbf{I} & -d_6 \mathbf{z}_6^\times \\ \mathbf{O} & \mathbf{I} \end{bmatrix} \begin{bmatrix} \mathbf{v}_w \\ \boldsymbol{\omega}_w \end{bmatrix}$$

#### ➤ 雅可比矩阵的关系

$$\begin{cases} \mathbf{J}_e = \begin{bmatrix} \mathbf{I} & -d_6 \mathbf{z}_6^\times \\ \mathbf{O} & \mathbf{I} \end{bmatrix} \mathbf{J}_w = \mathbf{U} \mathbf{J}_w \\ \mathbf{U} = \begin{bmatrix} \mathbf{I} & -d_6 \mathbf{z}_6^\times \\ \mathbf{O} & \mathbf{I} \end{bmatrix}, \quad \det(\mathbf{U}) = 1 \end{cases}$$

由此可知， $\mathbf{J}_e$ 与 $\mathbf{J}_w$ 具有相同的行列式，因而奇异条件相同。  
实际上，若令 $d_6=0$ ，则 $\mathbf{J}_e$ 与 $\mathbf{J}_w$ 相同。

## 7.3.1 腕部运动的分解

### ■ 回顾：末端点运动对应的雅可比矩阵

$$\mathbf{J}_{e1} = \begin{bmatrix} -s_1(a_2c_2 + d_4s_{23}) - d_6[s_1(s_{23}c_5 + c_{23}c_4s_5) + c_1s_4s_5] \\ c_1(a_2c_2 + d_4s_{23}) + d_6[c_1(s_{23}c_5 + c_{23}c_4s_5) - s_1s_4s_5] \\ 0 \\ 0 \\ 0 \\ 1 \end{bmatrix}$$

$$\mathbf{J}_{e2} = \begin{bmatrix} c_1[-a_2s_2 + d_4c_{23} + d_6(c_{23}c_5 - s_{23}c_4s_5)] \\ s_1[-a_2s_2 + d_4c_{23} + d_6(c_{23}c_5 - s_{23}c_4s_5)] \\ -a_2c_2 - d_4s_{23} - d_6(s_{23}c_5 + c_{23}c_4s_5) \\ -s_1 \\ c_1 \\ 0 \end{bmatrix}, \quad \mathbf{J}_{e3} = \begin{bmatrix} c_1[d_4c_{23} + d_6(c_{23}c_5 - s_{23}c_4s_5)] \\ s_1[d_4c_{23} + d_6(c_{23}c_5 - s_{23}c_4s_5)] \\ -d_4s_{23} - d_6(s_{23}c_5 + c_{23}c_4s_5) \\ -s_1 \\ c_1 \\ 0 \end{bmatrix}$$



## 7.3.1 腕部运动的分解

### ■ 回顾：末端点运动对应的雅可比矩阵

$$\mathbf{J}_{e(4-6)} = \begin{bmatrix} -d_6 (s_1 c_4 + c_1 c_{23} s_4) s_5 & -d_6 [c_1 (s_{23} s_5 - c_{23} c_4 c_5) + s_1 s_4 c_5] & 0 \\ d_6 (c_1 c_4 - s_1 c_{23} s_4) s_5 & -d_6 [s_1 (s_{23} s_5 - c_{23} c_4 c_5) - c_1 s_4 c_5] & 0 \\ d_6 s_{23} s_4 s_5 & -d_6 (c_{23} s_5 + s_{23} c_4 c_5) & 0 \\ c_1 s_{23} & -s_1 c_4 - c_1 c_{23} s_4 & c_1 (s_{23} c_5 + c_{23} c_4 s_5) - s_1 s_4 s_5 \\ s_1 s_{23} & c_1 c_4 - s_1 c_{23} s_4 & s_1 (s_{23} c_5 + c_{23} c_4 s_5) + c_1 s_4 s_5 \\ c_{23} & s_{23} s_4 & c_{23} c_5 - s_{23} c_4 s_5 \end{bmatrix}$$

上述为 $\mathbf{J}_e$ 的表达式，若令 $d_6=0$ （红色的部分），可得 $\mathbf{J}_w$ 的表达式（也可根据定义直接推导，结果一样）

## 7.3.1 腕部运动的分解

### ◆ 腕部中心点对应的雅可比矩阵

令 $J_e$ 中的 $d_6=0$ 后，得到腕部中心运动对应的雅可比矩阵

$$J_w = \begin{bmatrix} -a_2 s_1 c_2 - d_4 s_1 s_{23} & c_1 (-a_2 s_2 + d_4 c_{23}) & d_4 c_1 c_{23} & 0 & 0 & 0 \\ a_2 c_1 c_2 + d_4 c_1 s_{23} & s_1 (-a_2 s_2 + d_4 c_{23}) & d_4 s_1 c_{23} & 0 & 0 & 0 \\ 0 & -a_2 c_2 - d_4 s_{23} & -d_4 s_{23} & 0 & 0 & 0 \\ 0 & -s_1 & -s_1 & c_1 s_{23} & -s_1 c_4 - c_1 c_{23} s_4 & c_1 (s_{23} c_5 + c_{23} c_4 s_5) - s_1 s_4 s_5 \\ 0 & c_1 & c_1 & s_1 s_{23} & c_1 c_4 - s_1 c_{23} s_4 & s_1 (s_{23} c_5 + c_{23} c_4 s_5) + c_1 s_4 s_5 \\ 1 & 0 & 0 & c_{23} & s_{23} s_4 & c_{23} c_5 - s_{23} c_4 s_5 \end{bmatrix}$$

讨论：该矩阵有什么特点？反映了什么样的情况？

## 7.3.1 腕部运动的分解

### ◆ 腕部中心点对应的雅可比矩阵

➤ 实际为三角矩阵，写成分块矩阵的形式为

$$\mathbf{J}_w = \begin{bmatrix} \mathbf{J}_{11} & \mathbf{0} \\ \mathbf{J}_{21} & \mathbf{J}_{22} \end{bmatrix}$$

➤ 各分块矩阵的表达式为：

$$\mathbf{J}_{11} = \begin{bmatrix} -s_1(a_2c_2 + d_4s_{23}) & -c_1(a_2s_2 - d_4c_{23}) & d_4c_1c_{23} \\ c_1(a_2c_2 + d_4s_{23}) & -s_1(a_2s_2 - d_4c_{23}) & d_4s_1c_{23} \\ 0 & -(a_2c_2 + d_4s_{23}) & -d_4s_{23} \end{bmatrix}, \quad \mathbf{J}_{21} = \begin{bmatrix} 0 & -s_1 & -s_1 \\ 0 & c_1 & c_1 \\ 1 & 0 & 0 \end{bmatrix}$$

$$\mathbf{J}_{22} = \begin{bmatrix} c_1s_{23} & -s_1c_4 - c_1c_{23}s_4 & c_1(s_{23}c_5 + c_{23}c_4s_5) - s_1s_4s_5 \\ s_1s_{23} & c_1c_4 - s_1c_{23}s_4 & s_1(s_{23}c_5 + c_{23}c_4s_5) + c_1s_4s_5 \\ c_{23} & s_{23}s_4 & c_{23}c_5 - s_{23}c_4s_5 \end{bmatrix}$$

## 7.3.1 腕部运动的分解

### ◆ 腕部中心6自由度运动的分解

- 根据腕部中心微分运动方程及分块矩阵：

$$\begin{bmatrix} \mathbf{v}_w \\ \boldsymbol{\omega}_w \end{bmatrix} = \mathbf{J}_w(\boldsymbol{\Theta}) \dot{\boldsymbol{\Theta}}, \quad \mathbf{J}_w = \begin{bmatrix} \mathbf{J}_{11} & \mathbf{0} \\ \mathbf{J}_{21} & \mathbf{J}_{22} \end{bmatrix}$$

- 可得分解后的运动学方程：

$$\begin{cases} \mathbf{v}_w = \mathbf{J}_{11} \dot{\boldsymbol{\Theta}}_u \\ \boldsymbol{\omega}_w = \mathbf{J}_{21} \dot{\boldsymbol{\Theta}}_u + \mathbf{J}_{22} \dot{\boldsymbol{\Theta}}_l \end{cases}$$

其中，

$$\begin{cases} \dot{\boldsymbol{\Theta}}_u = [\dot{\theta}_1, \dot{\theta}_2, \dot{\theta}_3]^T \\ \dot{\boldsymbol{\Theta}}_l = [\dot{\theta}_4, \dot{\theta}_5, \dot{\theta}_6]^T \end{cases}$$

腕部中心的6DOF运动分解为两个3DOF运动：

- ①腕部的平动，体现在腕部中心的线速度上；
- ②腕部的转动，体现在末端杆件的角速度上。

## 7.3.1 腕部运动的分解

### ◆ 腕部中心6自由度运动的分解

#### ➤ 对于逆运动学问题

$$\dot{\boldsymbol{\theta}}_u = \left({}^0\mathbf{J}_{11}\right)^{-1} \left({}^0\mathbf{v}_w\right)$$

$$\dot{\boldsymbol{\theta}}_l = \left({}^0\mathbf{J}_{22}\right)^{-1} \left[{}^0\boldsymbol{\omega}_w - \left({}^0\mathbf{J}_{21}\right)\dot{\boldsymbol{\theta}}_u\right]$$

其运动学奇异由对角分块矩阵确定，即由 ${}^0\mathbf{J}_{11}$ 和 ${}^0\mathbf{J}_{22}$ 确定，分别对应：位置奇异和姿态奇异。

## 7.3.2 奇异条件的确定

### ◆ 奇异条件判据

➤ 计算 $J_w$ 的行列式

$$|J_w| = \left| \begin{bmatrix} J_{11} & O \\ J_{21} & J_{22} \end{bmatrix} \right| = |J_{11}| \cdot |J_{22}|$$

➤ 可见， $J_w$ 的奇异条件由下面两式确定

$$\begin{cases} |J_{11}| = 0 \\ |J_{22}| = 0 \end{cases}, \quad J_{11}, J_{22} \in R\mathbb{R}^{3 \times 3}$$

如上可知，奇异问题可以分解为两个子问题：

- ① 位置奇异问题（ $J_{11}$ 不满秩）
- ② 姿态奇异问题（ $J_{22}$ 不满秩）

## 7.3.2 奇异条件的确定

### ◆ 位置奇异条件 ( $\mathbf{J}_{11}$ 不满秩)

➤ 位置奇异的条件通过令 $\mathbf{J}_{11}$ 行列式为0可以分析得到，其中

$$\mathbf{J}_{11} = \begin{bmatrix} -s_1(a_2c_2 + d_4s_{23}) & -c_1(a_2s_2 - d_4c_{23}) & d_4c_1c_{23} \\ c_1(a_2c_2 + d_4s_{23}) & -s_1(a_2s_2 - d_4c_{23}) & d_4s_1c_{23} \\ 0 & -(a_2c_2 + d_4s_{23}) & -d_4s_{23} \end{bmatrix}$$

➤ 类似于3R肘机器人的分析结果，可得

$$|\mathbf{J}_{11}| = 0 \Rightarrow \begin{cases} c_3 = 0 \\ a_2c_2 + d_4s_{23} = 0 \end{cases}$$

## 7.3.2 奇异条件的确定

### ◆ 位置奇异条件 ( $J_{11}$ 不满秩)

上述两个条件分别为肘部奇异和肩部奇异。

(1) 肘部奇异条件

$$c_3 = 0 \Rightarrow \theta_3 = \pm \frac{\pi}{2}$$

(2) 肩部奇异条件

$$a_2 c_2 + d_4 s_{23} = 0$$



## 7.3.2 奇异条件的确定

### ◆ 姿态奇异条件 ( $J_{22}$ 不满秩)

➤ 根据上面的推导, 可知{0}系下的分块

$${}^0J_{22} = \begin{bmatrix} c_1 s_{23} & -s_1 c_4 - c_1 c_{23} s_4 & c_1 (s_{23} c_5 + c_{23} c_4 s_5) - s_1 s_4 s_5 \\ s_1 s_{23} & c_1 c_4 - s_1 c_{23} s_4 & s_1 (s_{23} c_5 + c_{23} c_4 s_5) + c_1 s_4 s_5 \\ c_{23} & s_{23} s_4 & c_{23} c_5 - s_{23} c_4 s_5 \end{bmatrix}$$

➤ 若以{3}系为参考系, 可得相应的 $J_{22}$ 为

$${}^3J_{22} = \begin{bmatrix} 0 & -s_4 & c_4 s_5 \\ 0 & c_4 & s_4 s_5 \\ 1 & 0 & c_5 \end{bmatrix}$$

## 7.3.2 奇异条件的确定

### ◆ 姿态奇异条件 ( $J_{22}$ 不满秩)

➤ 而从{0}到{3}的姿态变换矩阵为

$${}^0R_3 = \begin{bmatrix} c_1 c_{23} & -s_1 & c_1 s_{23} \\ s_1 c_{23} & c_1 & s_1 s_{23} \\ -s_{23} & 0 & c_{23} \end{bmatrix} = \begin{bmatrix} {}^0n_3 & {}^0o_3 & {}^0a_3 \end{bmatrix}$$

➤ 可知{0}、{3}系下的 $J_{22}$ 满足如下关系

$${}^0J_{22} = {}^0R_3 {}^3J_{22}$$

➤ 行列式满足

$$\left| {}^0J_{22} \right| = \left| {}^0R_3 {}^3J_{22} \right| = \left| {}^0R_3 \right| \cdot \left| {}^3J_{22} \right| = \left| {}^3J_{22} \right|$$

因此，分析 ${}^0J_{22}$ 的奇异条件转换为分析 ${}^3J_{22}$ 的奇异条件，类似于3R球腕机械臂的分析。

## 7.3.2 奇异条件的确定

### ◆ 姿态奇异条件 ( $J_{22}$ 不满秩)

➤ 分块矩阵 ${}^3J_{22}$ 的行列式

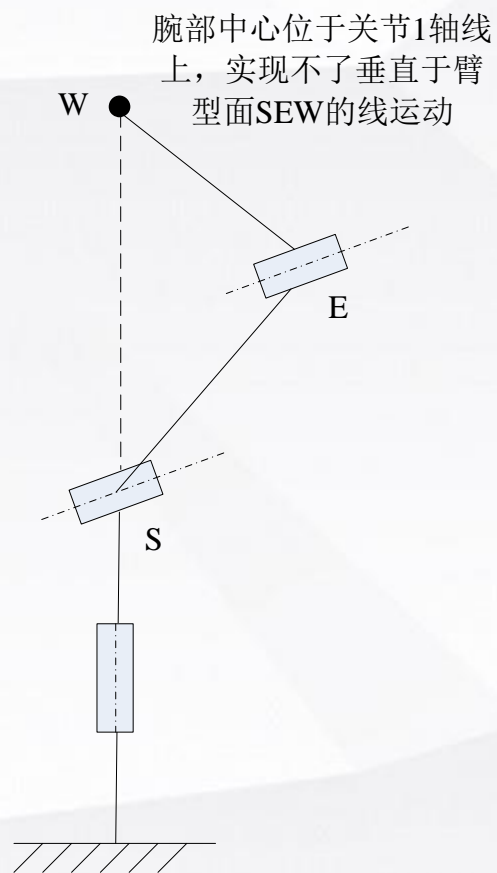
$$\left| {}^3J_{22} \right| = \begin{vmatrix} 0 & -s_4 & c_4 s_5 \\ 0 & c_4 & s_4 s_5 \\ 1 & 0 & c_5 \end{vmatrix} = s_5$$

➤ 因此可得姿态奇异（即腕部奇异）的条件为

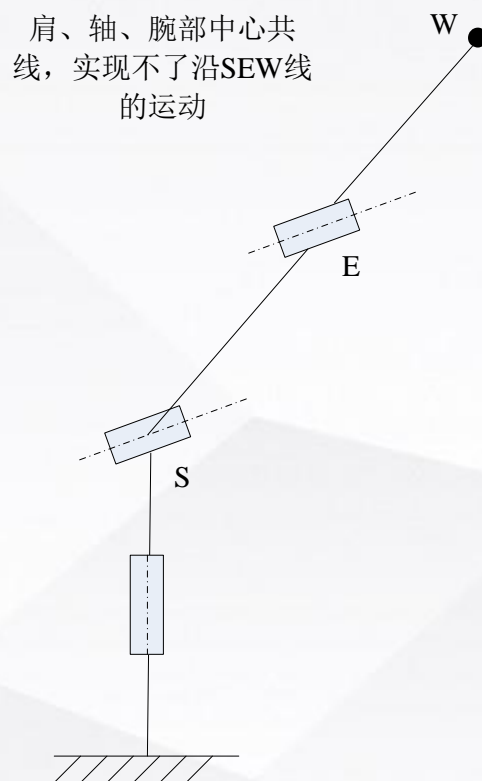
$$s_5 = 0 \Rightarrow \begin{cases} \theta_5 = 0 \\ \theta_5 = \pi \end{cases}$$

## 7.3.3 奇异臂型

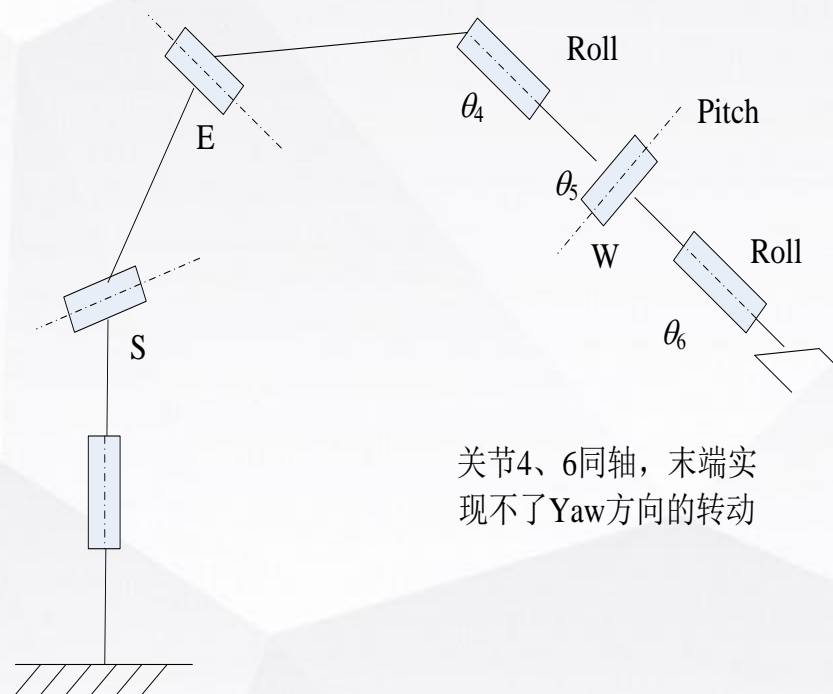
### ◆ 空间6R腕部分离机械臂的奇异臂型



(1) 肩部奇异



(2) 肘部奇异



关节4、6同轴，末端实现不了Yaw方向的转动

(3) 腕部奇异

# 第7章 运动学奇异分析与性能评价

- 1 运动学奇异的判据
- 2 空间3R机械臂运动学奇异分析
- 3 腕部可分离6R机械臂奇异分析
- 4 一般6R机械臂运动学奇异分析
- 5 机器人运动性能评价

## 7.4.1 基于SVD分解的奇异分析

### ■ 雅可比矩阵的SVD分解

➤ 设 $J$ 为 $n \times n$ 的矩阵，则存在 $m$ 阶正交矩阵 $U$ 和 $n$ 阶正交矩阵 $V$ ，使得

$$J = U \Sigma V^T$$

其中， $U=[u_1, u_2, \dots, u_n]$ 、 $V=[v_1, v_2, \dots, v_n]$ 均是正交矩阵， $\Sigma$ 为对角阵

$$\Sigma = \begin{bmatrix} \sigma_1 & 0 & \cdots & 0 \\ 0 & \sigma_2 & \ddots & 0 \\ \vdots & \vdots & \ddots & \vdots \\ 0 & 0 & \cdots & \sigma_n \end{bmatrix}$$

上式中， $\sigma_i$ 为奇异值，满足 $\sigma_1 \geq \sigma_2 \geq \dots \sigma_n \geq 0$ 。若 $A$ 的秩为 $r$ （ $r > 0$ ），则满足 $\sigma_1 \geq \sigma_2 \geq \dots \sigma_r > 0$ 。

## 7.4.1 基于SVD分解的奇异分析

### ■ 雅可比矩阵的SVD分解

- 根据SVD分解的性质，有如下关系

$$|\det(\mathbf{J})| = |\det(\Sigma)| = \sigma_1 \sigma_2 \cdots \sigma_n$$

**结论：**只有所有奇异值均不为0时，矩阵才是非奇异的。反之，只要有一个奇异值为0，则矩阵是奇异的。

- 根据奇异值判断矩阵奇异的方法

进行SVD分解，然后按奇异值从大到小排列，若最小奇异值非0，则矩阵非奇异；若为0，则矩阵奇异。

进一步，若确定最小非0奇异值的序号为 $r$ ，则矩阵的秩为 $r$ 。

## 7.4.1 基于SVD分解的奇异分析

■ 举例：3R肘机器人， $d_1=a_2=a_3=0.5\text{m}$

➤ 考虑三种情况

$$\Theta = \begin{bmatrix} 30^\circ & 30^\circ & 60^\circ \end{bmatrix} \quad (\text{非奇异状态})$$

$$\Theta = \begin{bmatrix} 30^\circ & 30^\circ & 0^\circ \end{bmatrix} \quad (s_3=0, \text{边界奇异})$$

$$\Theta = \begin{bmatrix} 30^\circ & 30^\circ & 120^\circ \end{bmatrix} \quad (a_2c_2+a_3c_{23}=0, \text{内部奇异})$$

分别计算相应的雅可比矩阵，并进行**奇异值分解**。在Matlab中可直接用函数 $[U \ S \ V] = \text{svd}(J)$ 可以获得分解矩阵。



## 7.4.1 基于SVD分解的奇异分析

■ 举例：3R肘机器人， $d_1=a_2=a_3=0.5\text{m}$

➤ 第1种情况（不奇异）， $[30^\circ, 30^\circ, 60^\circ]$

$$\mathbf{J}_{v1} = \begin{bmatrix} -0.2165 & -0.6495 & -0.4330 \\ 0.3750 & -0.3750 & -0.2500 \\ 0 & -0.4330 & -0.0000 \end{bmatrix}$$

➤ 分解矩阵如下

$$\mathbf{U}_1 = \begin{bmatrix} -0.7969 & -0.5000 & -0.3391 \\ -0.4601 & 0.8660 & -0.1958 \\ -0.3916 & 0 & 0.9202 \end{bmatrix}$$

$$\mathbf{V}_1 = \begin{bmatrix} 0 & 1.0000 & 0 \\ 0.8817 & 0 & -0.4719 \\ 0.4719 & 0 & 0.8817 \end{bmatrix}$$

$$\mathbf{S}_1 = \begin{bmatrix} 0.9750 & 0 & 0 \\ 0 & 0.4330 & 0 \\ 0 & 0 & 0.2220 \end{bmatrix}$$

其中S为奇异值组成的矩阵，  
三个奇异值均大于0。

## 7.4.1 基于SVD分解的奇异分析

■ 举例：3R肘机器人， $d_1=a_2=a_3=0.5\text{m}$

➤ 第2种情况（边界奇异）， $[30^\circ, 30^\circ, 0^\circ]$

$$\mathbf{J}_{v2} = \begin{bmatrix} -0.4330 & -0.4330 & -0.2165 \\ 0.7500 & -0.2500 & -0.1250 \\ 0 & -0.8660 & -0.4330 \end{bmatrix}$$

➤ 分解矩阵如下

$$\mathbf{U}_2 = \begin{bmatrix} -0.4330 & -0.5000 & -0.7500 \\ -0.2500 & 0.8660 & -0.4330 \\ -0.8660 & 0 & 0.5000 \end{bmatrix}$$

$$\mathbf{V}_2 = \begin{bmatrix} 0 & 1.0000 & 0 \\ 0.8944 & 0 & 0.4472 \\ 0.4472 & 0 & -0.8944 \end{bmatrix}$$

$$\mathbf{S}_2 = \begin{bmatrix} 1.1180 & 0 & 0 \\ 0 & 0.8660 & 0 \\ 0 & 0 & 0 \end{bmatrix}$$

S矩阵有一个奇异值为0。

## 7.4.1 基于SVD分解的奇异分析

■ 举例：3R肘机器人， $d_1=a_2=a_3=0.5\text{m}$

➤ 第3种情况（内部奇异）， $[30^\circ, 30^\circ, 120^\circ]$

$$\mathbf{J}_{v3} = \begin{bmatrix} 0 & -0.4330 & -0.2165 \\ 0 & -0.2500 & -0.1250 \\ 0 & 0 & 0.4330 \end{bmatrix}$$

➤ 分解矩阵如下

$$\mathbf{U}_3 = \begin{bmatrix} -0.7500 & 0.4330 & 0.5000 \\ -0.4330 & 0.2500 & -0.8660 \\ 0.5000 & 0.8660 & 0.0000 \end{bmatrix}$$

$$\mathbf{V}_3 = \begin{bmatrix} 0 & 0 & -1 \\ 0.7071 & -0.7071 & 0 \\ 0.7071 & 0.7071 & 0 \end{bmatrix}$$

$$\mathbf{S}_3 = \begin{bmatrix} 0.6124 & 0 & 0 \\ 0 & 0.3536 & 0 \\ 0 & 0 & 0 \end{bmatrix}$$

S矩阵有一个奇异值为0。

## 7.4.2 基于雅可比矩阵初等变换的奇异分析

### ◆ 雅可比矩阵改造

- 将雅可比矩阵表达式中的 $p_n$ 分离出来（以旋转关节为例）

$$J_i = \begin{bmatrix} \xi_i \times p_{i \rightarrow n} \\ \xi_i \end{bmatrix} = \begin{bmatrix} z_{i-1} \times (p_n - p_{i-1}) \\ z_{i-1} \end{bmatrix} = \begin{bmatrix} -I_{3 \times 3} & -p_n^\times \\ O_{3 \times 3} & I_{3 \times 3} \end{bmatrix} \begin{bmatrix} z_{i-1} \times p_{i-1} \\ z_{i-1} \end{bmatrix}$$

令

$$M = \begin{bmatrix} -I_{3 \times 3} & -p_n^\times \\ O_{3 \times 3} & I_{3 \times 3} \end{bmatrix}, \quad S_i = \begin{bmatrix} z_{i-1} \times p_{i-1} \\ z_{i-1} \end{bmatrix}$$

则有

$$J_i = MS_i \quad (i=1, 2, \dots, n)$$

$S_i$ 称为改造后的关节螺旋。 $M$ 为始终满秩的牵连矩阵。

## 7.4.2 基于雅可比矩阵初等变换的奇异分析

### ◆ 雅可比矩阵改造

#### ➤ 改造后的关节螺旋

$$S_i = \begin{cases} \begin{bmatrix} z_{i-1} \times p_{i-1} \\ z_{i-1} \end{bmatrix}, & i \text{ 为转动关节} \\ \begin{bmatrix} -z_{i-1} \\ 0 \end{bmatrix}, & i \text{ 为移动关节} \end{cases}$$

满足  $J_i = MS_i \quad (i=1, 2, \dots, n)$

#### ➤ 改造后的雅可比矩阵

$$S = [S_1, S_2, \dots, S_n] \quad \text{满足} \quad J = MS, \quad S = M^{-1}J$$

$S = [S_1, S_2, \dots, S_n]$  称为改造后的雅可比。

由于  $M$  始终满秩， $S$  与  $J$  具有相同的奇异条件。

## 7.4.2 基于雅可比矩阵初等变换的奇异分析

### ◆ 矩阵初等变换——方法原理

➤ 机械臂速度级运动方程写成如下形式

$$\begin{bmatrix} \dot{x}_1 \\ \dot{x}_2 \\ \vdots \\ \dot{x}_6 \end{bmatrix} = \begin{bmatrix} J_{11} & J_{12} & \cdots & J_{1n} \\ J_{21} & J_{22} & \cdots & J_{2n} \\ \vdots & \vdots & \vdots & \vdots \\ J_{61} & J_{61} & \cdots & J_{6n} \end{bmatrix} \begin{bmatrix} \dot{q}_1 \\ \dot{q}_2 \\ \vdots \\ \dot{q}_n \end{bmatrix}$$

**初等变换不改变矩阵的秩，但可改变方程的形式**

## 7.4.2 基于雅可比矩阵初等变换的奇异分析

### ◆ 矩阵初等变换——方法原理

➤ 初等行变换，相当于左乘初等矩阵，有

$$P \begin{bmatrix} \dot{x}_1 \\ \dot{x}_2 \\ \vdots \\ \dot{x}_6 \end{bmatrix} = P \begin{bmatrix} J_{11} & J_{12} & \cdots & J_{1n} \\ J_{21} & J_{22} & \cdots & J_{2n} \\ \vdots & \vdots & & \vdots \\ J_{61} & J_{62} & \cdots & J_{6n} \end{bmatrix} \begin{bmatrix} \dot{q}_1 \\ \dot{q}_2 \\ \vdots \\ \dot{q}_n \end{bmatrix}$$

➤ 初等列变换，相当于左乘初等矩阵，有

$$\begin{bmatrix} \dot{x}_1 \\ \dot{x}_2 \\ \vdots \\ \dot{x}_6 \end{bmatrix} = \begin{bmatrix} J_{11} & J_{12} & \cdots & J_{1n} \\ J_{21} & J_{22} & \cdots & J_{2n} \\ \vdots & \vdots & & \vdots \\ J_{61} & J_{62} & \cdots & J_{6n} \end{bmatrix} Q Q^{-1} \begin{bmatrix} \dot{q}_1 \\ \dot{q}_2 \\ \vdots \\ \dot{q}_n \end{bmatrix}$$

## 7.4.2 基于雅可比矩阵初等变换的奇异分析

### ◆ 矩阵初等变换——方法原理

#### ➤ 等价雅可比矩阵

$$\hat{J} = P_s \cdots P_1 J Q_1 \cdots Q_l = P J Q$$

其中 $P$ 、 $Q$ 均为可逆矩阵，即

$$P = P_s \cdots P_1$$

$$Q = Q_1 \cdots Q_l$$

因而，初等变换前后的两个矩阵等价，秩相同，可以通过分析变换后的矩阵获得奇异条件



## 7.4.2 基于雅可比矩阵初等变换的奇异分析

### ◆ 常用初等变换

➤ 初等行变换( $i \longleftrightarrow j$ )

$$P_1 = \begin{bmatrix} 1 & & & & & \\ & \ddots & & & & \\ & & 1 & & & \\ & & 0 & \cdots & 1 & \\ & & & 1 & & \\ & & \vdots & & \ddots & \vdots \\ & & & & & 1 \\ 1 & & \cdots & & 0 & \\ & & & & & 1 & \ddots \\ & & & & & & 1 \end{bmatrix} \begin{array}{l} \leftarrow i^{th} \text{行} \\ \leftarrow j^{th} \text{行} \end{array}$$

对应的方程

$$P_1 \begin{bmatrix} \dot{x}_1 \\ \dot{x}_2 \\ \vdots \\ \dot{x}_6 \end{bmatrix} = P_1 \begin{bmatrix} J_{11} & J_{12} & \cdots & J_{1n} \\ J_{21} & J_{22} & \cdots & J_{2n} \\ \vdots & \vdots & \vdots & \vdots \\ J_{61} & J_{61} & \cdots & J_{6n} \end{bmatrix} \begin{bmatrix} \dot{q}_1 \\ \dot{q}_2 \\ \vdots \\ \dot{q}_n \end{bmatrix} \Rightarrow \begin{bmatrix} \dot{x}_1 \\ \vdots \\ \dot{x}_j \\ \vdots \\ \dot{x}_i \\ \vdots \\ \dot{x}_6 \end{bmatrix} = \begin{bmatrix} J_{11} & J_{12} & \cdots & J_{1n} \\ \vdots & \vdots & & \vdots \\ J_{j1} & J_{j2} & \cdots & J_{jn} \\ \vdots & \vdots & & \vdots \\ J_{i1} & J_{i2} & \cdots & J_{in} \\ \vdots & \vdots & & \vdots \\ J_{61} & J_{62} & \cdots & J_{6n} \end{bmatrix} \begin{bmatrix} \dot{q}_1 \\ \dot{q}_2 \\ \vdots \\ \dot{q}_n \end{bmatrix}$$

## 7.4.2 基于雅可比矩阵初等变换的奇异分析

### ◆ 常用初等变换

#### ➤ 初等行变换( $k*r_i$ )

$$P_2 = \begin{bmatrix} 1 & & & & & \\ & \ddots & & & & \\ & & 1 & & & \\ & & & k & & \\ & & & & 1 & \\ & & & & & \ddots \\ & & & & & & 1 \end{bmatrix} \leftarrow i^{th} \text{行}$$

对应的方程

$$P_2 \begin{bmatrix} \dot{x}_1 \\ \dot{x}_2 \\ \vdots \\ \dot{x}_6 \end{bmatrix} = P_2 \begin{bmatrix} J_{11} & J_{12} & \cdots & J_{1n} \\ J_{21} & J_{22} & \cdots & J_{2n} \\ \vdots & \vdots & \vdots & \vdots \\ J_{61} & J_{62} & \cdots & J_{6n} \end{bmatrix} \begin{bmatrix} \dot{q}_1 \\ \dot{q}_2 \\ \vdots \\ \dot{q}_n \end{bmatrix} \Rightarrow \begin{bmatrix} \dot{x}_1 \\ \vdots \\ k\dot{x}_i \\ \vdots \\ \dot{x}_6 \end{bmatrix} = \begin{bmatrix} J_{11} & J_{12} & \cdots & J_{1n} \\ \vdots & \vdots & \vdots & \vdots \\ kJ_{i1} & kJ_{i2} & \cdots & kJ_{in} \\ \vdots & \vdots & \vdots & \vdots \\ J_{61} & J_{62} & \cdots & J_{6n} \end{bmatrix} \begin{bmatrix} \dot{q}_1 \\ \dot{q}_2 \\ \vdots \\ \dot{q}_n \end{bmatrix}$$

## 7.4.2 基于雅可比矩阵初等变换的奇异分析

### ◆ 常用初等变换

➤ 初等行变换 ( $k*r_j+r_i$ )

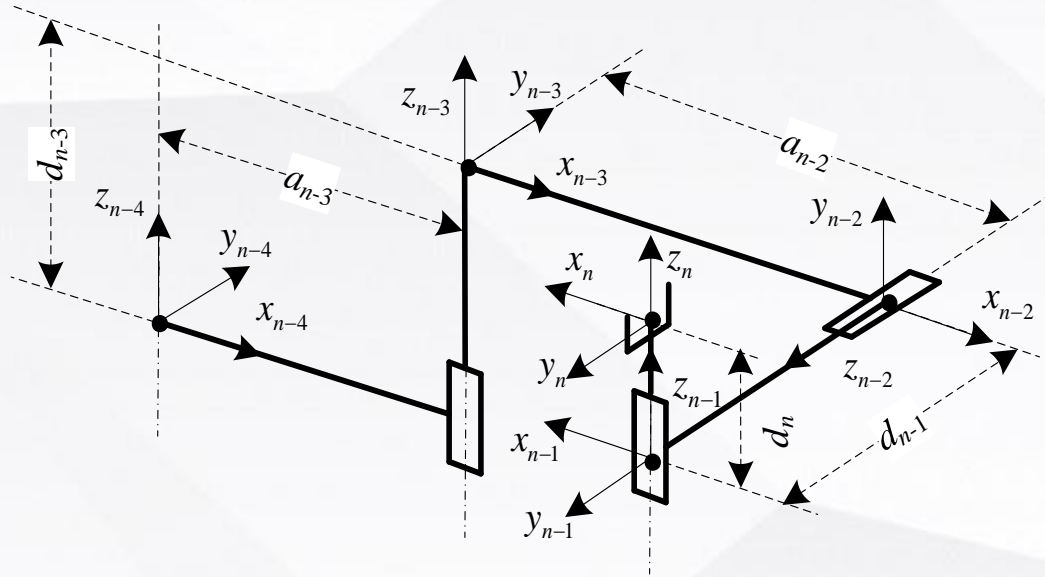
$$P_3 = \begin{bmatrix} 1 & & & & \\ & \ddots & & & \\ & & 1 & \cdots & k \\ & & & \ddots & \vdots \\ & & & & 1 & \\ & & & & & \ddots \\ & & & & & & 1 \end{bmatrix} \begin{array}{l} \leftarrow i^{th} \text{行} \\ \leftarrow j^{th} \text{行} \end{array}$$

对应的方程

$$\begin{bmatrix} \dot{x}_1 \\ \vdots \\ k\dot{x}_j + \dot{x}_i \\ \vdots \\ \dot{x}_6 \end{bmatrix} = \begin{bmatrix} J_{11} & J_{12} & \cdots & J_{1n} \\ \vdots & \vdots & & \vdots \\ kJ_{j1} + J_{i1} & kJ_{j2} + J_{i2} & \cdots & kJ_{jn} + J_{in} \\ \vdots & \vdots & & \vdots \\ J_{61} & J_{62} & \cdots & J_{6n} \end{bmatrix} \begin{bmatrix} \dot{q}_1 \\ \dot{q}_2 \\ \vdots \\ \dot{q}_n \end{bmatrix}$$

## 7.4.2 基于雅可比矩阵初等变换的奇异分析

### ◆ 分析实例



$${}^{n-2}S = \begin{bmatrix} \lambda_1 & 0 & 0 & s_{n-1} \\ \lambda_2 & 1 & 0 & -c_{n-1} \\ \lambda_3 & 0 & 1 & 0 \\ \lambda_4 & 0 & 0 & -d_{n-1}c_{n-1} \\ \lambda_5 & 0 & 0 & -d_{n-1}s_{n-1} \\ \lambda_6 & a_{n-2} & 0 & 0 \end{bmatrix}$$

**思路：**经过初等变换获得简洁的等价雅可比矩阵，从而简化奇异分析过程。

## 7.4.2 基于雅可比矩阵初等变换的奇异分析

### ◆ 分析实例

➤ 经过4次初等变换后，可得到**分块对角阵**

$$\hat{S} = P_4 P_3 P_2 P_1 \bullet S(\Theta) = \begin{bmatrix} \hat{S}_{11} & \hat{S}_{12} \\ \hat{S}_{21} & O_{3 \times 3} \end{bmatrix}$$

基于分块对角阵，可进行**运动分解/降维**

$$\begin{bmatrix} \hat{V}_u \\ \hat{V}_v \end{bmatrix} = \begin{bmatrix} \hat{S}_{11} & \hat{S}_{12} \\ \hat{S}_{21} & O_{3 \times 3} \end{bmatrix} \begin{bmatrix} \dot{\Theta}_u \\ \dot{\Theta}_v \end{bmatrix}$$

运动学方程求解，**极大简化了**后续的解算！！

$$\begin{cases} \dot{\Theta}_u = (S_{21})^{inv} V_v \\ \dot{\Theta}_v = (S_{12})^{-1} (V_u - S_{11} \dot{\Theta}_u) \end{cases}$$

# 第7章 运动学奇异分析与性能评价

- 1 运动学奇异的判据
- 2 空间3R机械臂运动学奇异分析
- 3 腕部可分离6R机械臂奇异分析
- 4 一般6R机械臂运动学奇异分析
- 5 机器人运动性能评价

## 7.5.1 机器人运动性能问题

### ◆ 运动性能评价问题

**启发：**机器人处于奇异臂型时，末端**损失**了运动自由度，说明运动能力降低了，因此**是否奇异**是运动性能的一种**定性评价**。

那么，对于**非奇异**的情况，有没有运动能力的差异？

**讨论：**如何**定量地**评价机器人的运动性能？

## 7.5.1 机器人运动性能问题

### ◆ 运动性能评价问题

**引申：**机器人的运动性能，确切地说是机器人**末端的运动能力**，即在**相同关节运动**条件下，**不同臂型**下末端运动能力的大小。



**思路：**结合雅可比矩阵的特点，**定量**评价运动性能。



## 8.5.2 性能指标

### ◆ 最小奇异值及条件数指标

#### ➤ 雅可比矩阵的SVD分解

$$J = U \begin{bmatrix} \sigma_1 & 0 & \cdots & 0 \\ 0 & \sigma_2 & \ddots & 0 \\ \vdots & \vdots & \ddots & \vdots \\ 0 & 0 & \cdots & \sigma_n \end{bmatrix} V^T, \quad |\det(J)| = \sigma_1 \sigma_2 \cdots \sigma_n$$

#### ➤ 最小奇异值

最小奇异值越接近0，离奇异状态越近；反之则越远。  
因此，其大小可以作为一个定量指标。

## 7.5.2 性能指标

### ◆ 最小奇异值及条件数指标

#### ➤ 条件数

根据推导关节及末端速度变化率满足：

$$\frac{1}{\|J\|\|J^{-1}\|} \frac{\|\delta \dot{x}_e\|}{\|\dot{x}_e\|} \leq \frac{\|\delta \dot{q}\|}{\|\dot{q}\|} \leq \|J\|\|J^{-1}\| \frac{\|\delta \dot{x}_e\|}{\|\dot{x}_e\|}$$

定义条件数为：

$$k(q) = \|J(q)\|\|J^{-1}(q)\| = \frac{\sigma_1}{\sigma_m}$$

其范围为：

$$k(q) \in [1, \infty)$$

$k(q) \rightarrow \infty$ ，运动学奇异

$\sigma_1 = \sigma_2 = \dots = \sigma_n$ ，各向同性

## 7.5.2 性能指标

### ◆ 可操作度

- 若关节速度范数小于等于1（广义单位球）

$$\|\dot{\mathbf{q}}\|^2 = \dot{\mathbf{q}}^T \dot{\mathbf{q}} \leq 1$$

- 可推导出如下关系：

$$\left(\frac{\dot{x}_{u1}}{\sigma_1}\right)^2 + \left(\frac{\dot{x}_{u2}}{\sigma_2}\right)^2 + \cdots + \left(\frac{\dot{x}_{um}}{\sigma_m}\right)^2 \leq 1$$

- 即末端速度在U空间的投影为m维广义椭球，椭球体积为

$$V = \frac{\pi^{\frac{m}{2}}}{\Gamma\left(\frac{m}{2} + 1\right)} \sigma_1 \sigma_2 \cdots \sigma_m = d \sigma_1 \sigma_2 \cdots \sigma_m$$

## 7.5.2 性能指标

### ◆ 可操作度

- 定义可操作度为（将体积中的常数 $d$ 去掉）

$$W = \sigma_1 \sigma_2 \cdots \sigma_m$$

- 结合雅可比矩阵的性质，上式还可表示为：

$$w(\mathbf{q}) = \sqrt{\det(\mathbf{J}(\mathbf{q})\mathbf{J}(\mathbf{q})^T)} = \sigma_1 \sigma_2 \cdots \sigma_m$$

- 对于方阵，可操作性度还可表示为：

$$w(\mathbf{q}) = \sqrt{\det(\mathbf{J}(\mathbf{q})\mathbf{J}(\mathbf{q})^T)} = |\det(\mathbf{J}(\mathbf{q}))|$$

## 7.5.2 性能指标

### ◆ 可操作度

- 分析实例——**平面2R机械臂**  
雅可比矩阵为

$$\mathbf{J}_v = \begin{bmatrix} -l_1 s_1 - l_2 s_{12} & -l_2 s_{12} \\ l_1 c_1 + l_2 c_{12} & l_2 c_{12} \end{bmatrix}$$

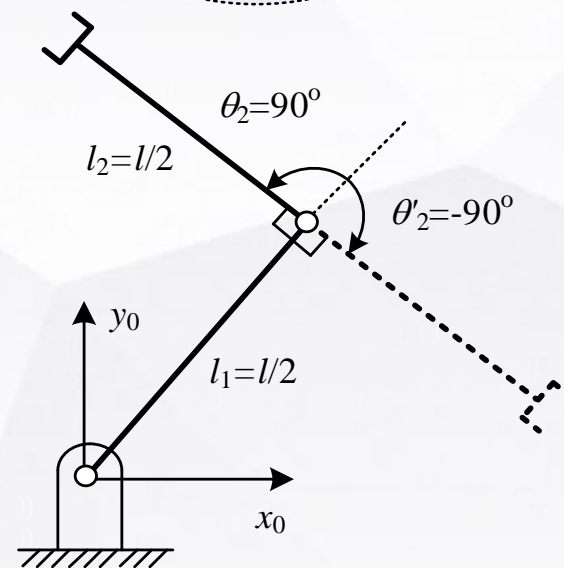
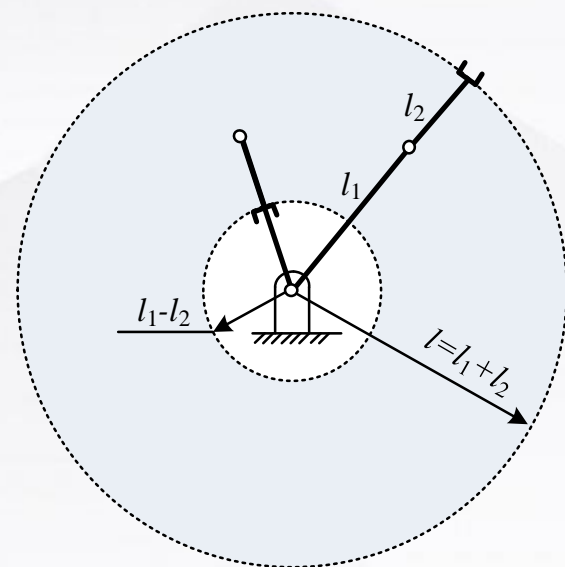
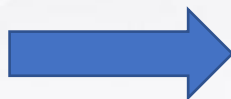
可操作度为

$$w(\boldsymbol{\Theta}) = \left| \det(\mathbf{J}_v(\boldsymbol{\Theta})) \right| = l_1 l_2 |\sin \theta_2|$$

- 若 $l_1 + l_2 = \text{常数}$ ，**最大可操作度为**

$$w_{\max} = \max w(\boldsymbol{\Theta}) = \frac{l^2}{4}$$

$(\theta_2 = \pm 90^\circ, l_1 = l_2 = l/2)$



## 7.5.2 性能指标

### ◆ 灵巧度/调节指数

最小奇异值、条件数、可操作度数**存在的问题**：

① 尺度/单位相关 (Scale/Unit Dependent)

不同尺寸机械臂之间无法评价。

② 量纲相关 (Dimension Dependent)

平动、转动的量纲不同。

③ 无界性 (Unbounded)

最大值趋向于无穷。

## 7.5.2 性能指标

### ◆ 灵巧度/调节指数

解决办法

#### ① 归一化雅可比矩阵

采用标称长度（或特征长度），对雅可比矩阵进行处理。

#### ② 定义运动调节指数

基于归一化矩阵条件数倒数的百分比定义新的指标。

## 7.5.2 性能指标

### ◆ 灵巧度/调节指数

#### ① 归一化雅可比矩阵

➤ 雅可比矩阵表示为平动、转动分块形式：

$$\mathbf{J} = \begin{bmatrix} \mathbf{J}_v \\ \mathbf{J}_\omega \end{bmatrix} = \begin{bmatrix} \mathbf{e}_1 \times \mathbf{p}_1 & \mathbf{e}_2 \times \mathbf{p}_2 & \cdots & \mathbf{e}_n \times \mathbf{p}_n \\ \mathbf{e}_1 & \mathbf{e}_2 & \cdots & \mathbf{e}_n \end{bmatrix}$$

采用标称长度 $L$ 对线速度进行归一化，则有：

$$\begin{bmatrix} \frac{1}{L} \mathbf{v}_e \\ \boldsymbol{\omega}_e \end{bmatrix} = \begin{bmatrix} \frac{1}{L}(\mathbf{e}_1 \times \mathbf{p}_1) & \frac{1}{L}(\mathbf{e}_2 \times \mathbf{p}_2) & \cdots & \frac{1}{L}(\mathbf{e}_n \times \mathbf{p}_n) \\ \mathbf{J}_{\omega 1} & \mathbf{J}_{\omega 2} & \cdots & \mathbf{J}_{\omega n} \end{bmatrix} \begin{bmatrix} \dot{q}_1 \\ \dot{q}_2 \\ \vdots \\ \dot{q}_n \end{bmatrix}$$

归一化后的微分运动方程为：

$$\begin{bmatrix} \tilde{\mathbf{v}}_e \\ \boldsymbol{\omega}_e \end{bmatrix} = \begin{bmatrix} \tilde{\mathbf{J}}_v \\ \mathbf{J}_\omega \end{bmatrix} \dot{\mathbf{q}} = \tilde{\mathbf{J}} \dot{\mathbf{q}}$$



## 7.5.2 性能指标

### ◆ 灵巧度/调节指数

#### ① 归一化雅可比矩阵

➤ 归一化后的微分运动方程为：

$$\begin{bmatrix} \tilde{\mathbf{v}}_e \\ \boldsymbol{\omega}_e \end{bmatrix} = \begin{bmatrix} \tilde{\mathbf{J}}_v \\ \mathbf{J}_\omega \end{bmatrix} \dot{\mathbf{q}} = \tilde{\mathbf{J}} \dot{\mathbf{q}}$$

其中，

$$\tilde{\mathbf{v}}_e = \frac{1}{L} \mathbf{v}_e$$

$$\tilde{\mathbf{J}} = \begin{bmatrix} \tilde{\mathbf{J}}_v \\ \mathbf{J}_\omega \end{bmatrix} = \begin{bmatrix} \mathbf{e}_1 \times \tilde{\mathbf{p}}_1 & \mathbf{e}_2 \times \tilde{\mathbf{p}}_2 & \cdots & \mathbf{e}_n \times \tilde{\mathbf{p}}_n \\ \mathbf{e}_1 & \mathbf{e}_2 & \cdots & \mathbf{e}_n \end{bmatrix}, \quad \text{此处 } \tilde{\mathbf{p}}_i = \frac{\mathbf{p}_i}{L}$$

## 7.5.2 性能指标

### ◆ 灵巧度/调节指数

#### ② 运动条件指数

➤ 运动条件指数定义：

$$KCI = \frac{1}{k_{\min}} \times 100\%$$

其中， $k_{\min}$  为所有臂型下的最小条件数

$$k_{\min} = \min_q \left( k(\tilde{J}(q)) \right)$$

由此，KCI的范围为

$$KCI \in (0, 100\%]$$

$KCI \rightarrow 0$ ，运动学奇异

$KCI = 100$ ，各向同性

## 7.5.3 各向同性机器人

### ◆ 各向同性判据及几何含义

- 对于 $n$ 自由度机器人，当满足下列条件时为各向同性机器人：

$$\tilde{\mathbf{J}}^T \tilde{\mathbf{J}} = \tilde{\mathbf{J}} \tilde{\mathbf{J}}^T = \sigma^2 \mathbf{I}_n$$

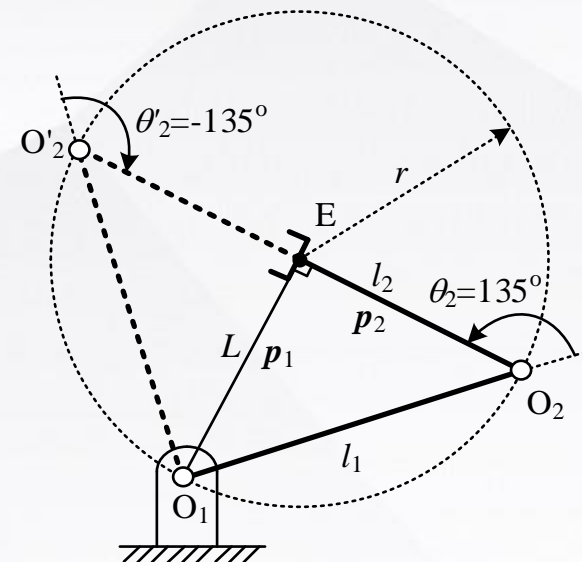
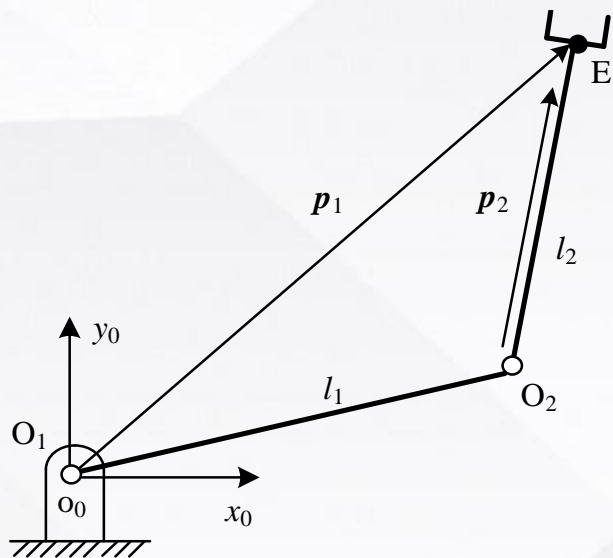
- 判据，同时满足下面两式：

$$\tilde{\mathbf{J}}^T \tilde{\mathbf{J}} = \sigma^2 \mathbf{I}_n$$

$$\tilde{\mathbf{J}} \tilde{\mathbf{J}}^T = \sigma^2 \mathbf{I}_n$$

## 7.5.3 各向同性机器人

### ◆ 各向同性平面2R机器人



➤ 各向同性的条件:

$$\begin{cases} \|p_1\| = \|p_2\| = \sigma \\ p_1 \perp p_2 \end{cases}$$

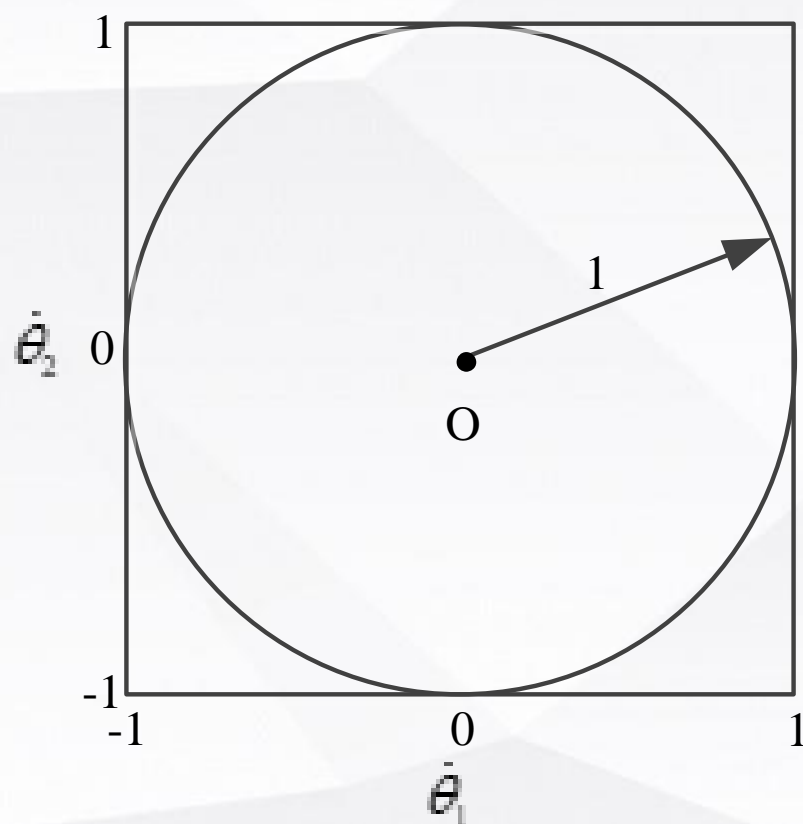


$$\begin{cases} l_2 = r \\ l_1 = \sqrt{2}r \\ \theta_2 = \pm 135^\circ \end{cases}$$

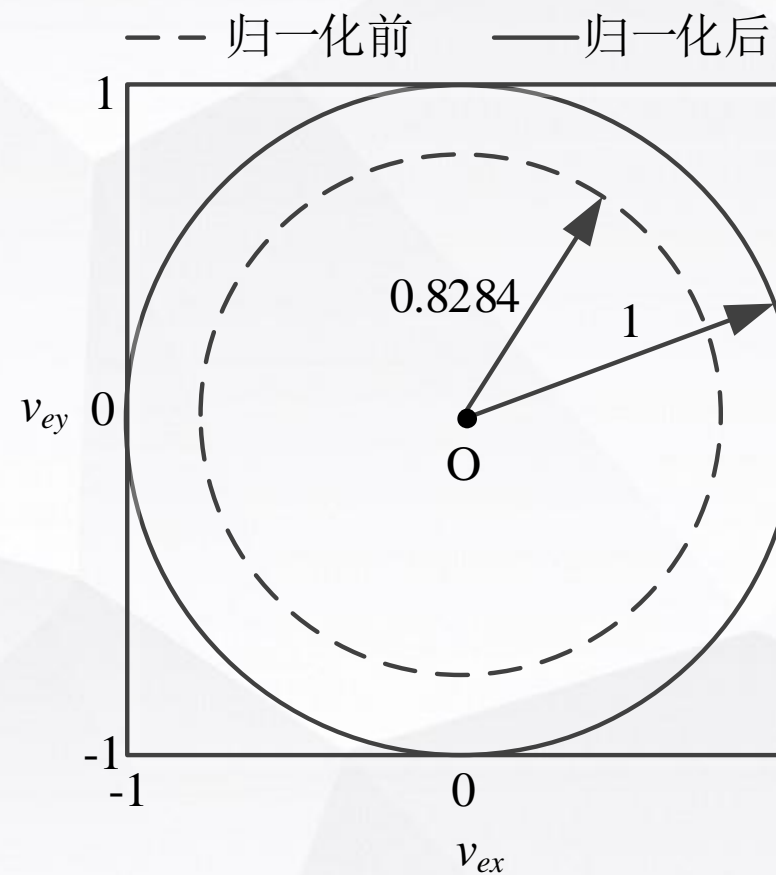
$l_1$  与  $p_1$ 、 $p_2$  构成等腰直角三角形

## 7.5.3 各向同性机器人

### ◆ 各向同性平面2R机器人



(a) 关节速度空间



(b) 末端线速度空间

## 7.5.3 各向同性机器人

### ◆ 各向同性平面3R机器人

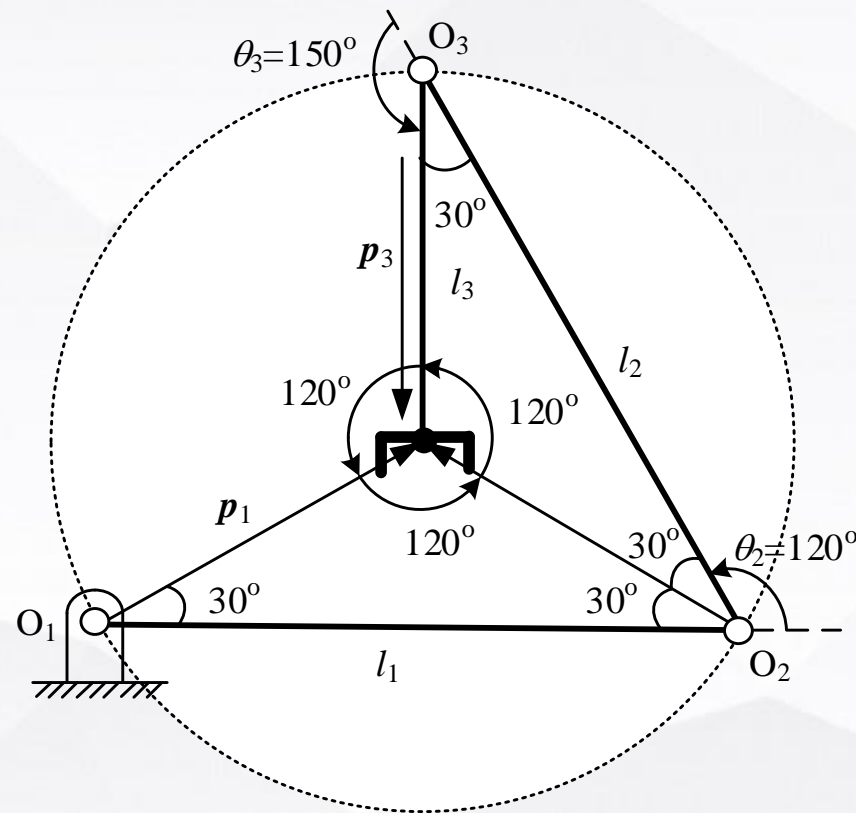
➤ 条件:  $\|p_1\| = \|p_2\| = \|p_3\| = r$

得到 
$$\begin{cases} l_1 = l_2 = \sqrt{3}r, & l_3 = r \\ \theta_2 = \pm 120^\circ, & \theta_3 = \pm 150^\circ \end{cases}$$

➤ 特征长度及总长度

$$L = \frac{\|p_i\|}{\|\tilde{p}_i\|} = \frac{r}{\sqrt{2}}$$

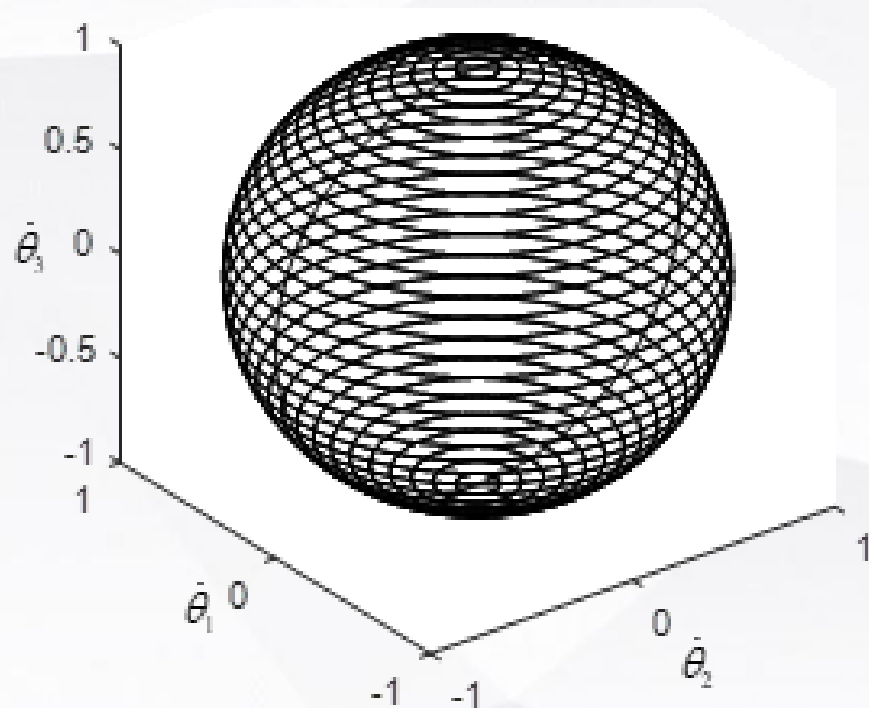
$$l = l_1 + l_2 + l_3 = (1 + 2\sqrt{3})l_3$$



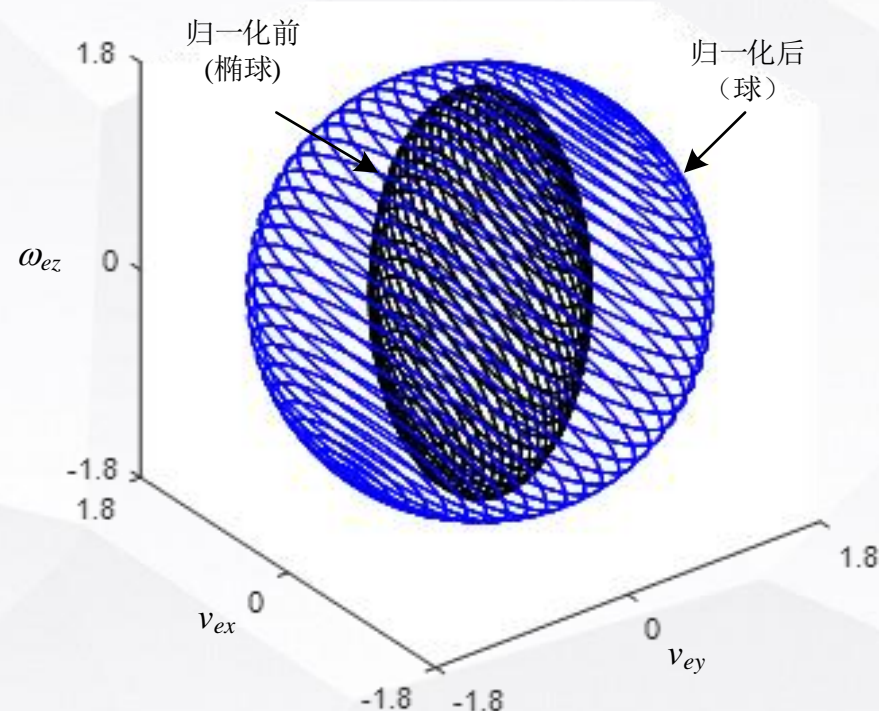
$O_1$ 、 $O_2$ 、 $O_3$ 构成等边三角形，三点均布在E为圆心、 $l_3$ 为半径的圆上

## 7.5.3 各向同性机器人

### ◆ 各向同性平面3R机器人



(a) 关节速度空间 (单位球)



(b) 末端速度空间  
(归一化前椭球, 归一化后为球)

谢谢！